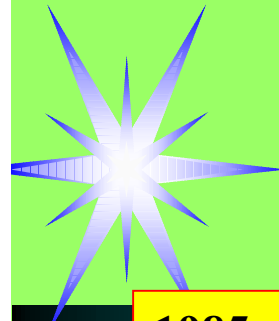


**LE PROGRESS RECENT DE LA SISMIQUE HAUTE RESOLUTION:
OUTIL COMPLEMENTAIRE EN GENIE CIVIL POUR LA RECONNAISSANCE
DU PROCHE SOUS-SOL**

Bogdan PIWAKOWSKI

*Groupe Acoustique-Electronique, Ecole Centrale de Lille
(IEMN DOAE UMR 9929 CNRS) 59651 Villeneuve d'Ascq, France
bogdan.piwakowski@ec-lille.fr*



Groupe Acoustique-Electronique, Ecole Centrale de Lille
Recherche depuis 1985

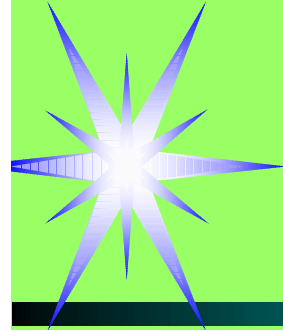
1985 Debut de la recherche : Demande de la Région Nord Pas de Calais
« est il possible de détecter des anciennes mines de craie »

1991 Démonstration de la faisabilité

1992/1993 Validation par le Service Départemental (*Centre d'Inspection des Carrières Souterraines de Douai*)

Depuis 1992 :

- la mise au point du système d'imagerie sismique, sa validation, l'extension de la méthode à des applications différentes,
- 40 publications, reconnaissance internationale
- 15 contrats divers
- 3 thèses soutenues
- **collaborations** avec
- l'Université de Kansas (U.S.A), l'Université de Lausanne (Suisse), Université de Delft Académie des Mines de Cracovie (Pologne), l'USTLille, le LML Lille,
- le SDICS
- Le Laboratoire Central des Ponts et des Chaussées (LCPC),,
- l'INERIS (programme de recherche en cours)



Groupe Acoustique-Electronique, Ecole Centrale de Lille

Axes de Recherche

Imagerie sismique

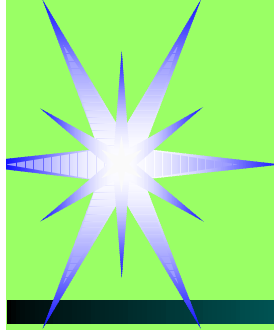
Modélisation
mathématique
par FEM (LML)

Developement du
materiel:

- Source betsy*
- Source vibratoire*
- Radar acoustique
(en cours)*

Terrain

Traitemet
des signaux



Plan :

- Historique

- Principes et mise en oeuvre

- Exemples d'application

 Imagerie de la subsurface

 Détections des cavités

 Reconnaissance de l'état d'une cavité (saine-effondrée)

 Détection des terrains effondré

 Recherche archéologique

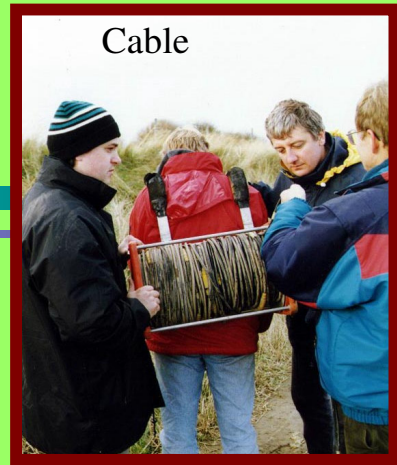
 Imagerie des failles de subsurface

 Recherche d'eau

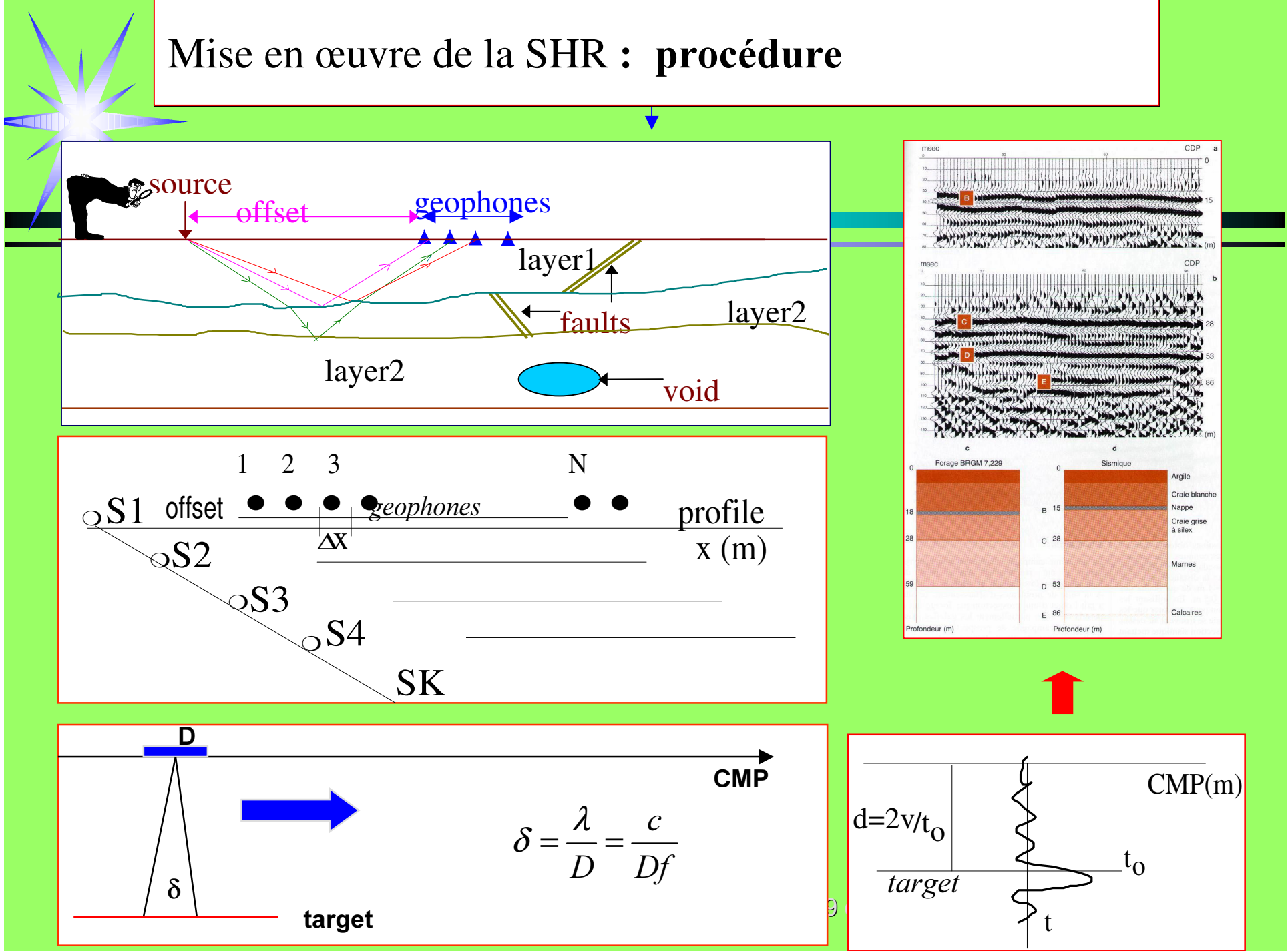
 Imagerie des terrains après l'exploitation minière

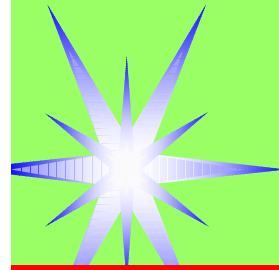
- Conclusions

Field parameters and equipment



Mise en œuvre de la SHR : procédure





Mise en oeuvre

Sources



Betsygun Shotgun



Vibrateur



Chute de Dynamite
poids



Profil sismique



B.Piwakowski Journee de Géophysique; Paris, 19 decembre 2002

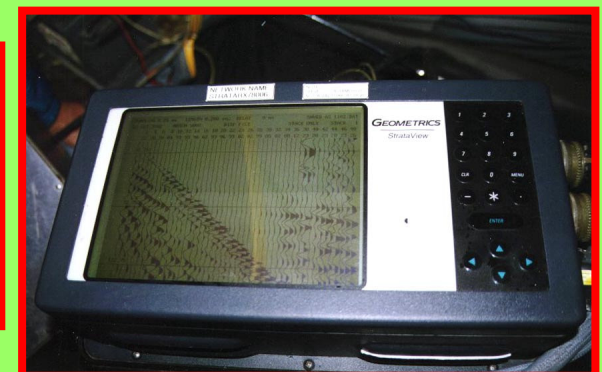
Acquisition



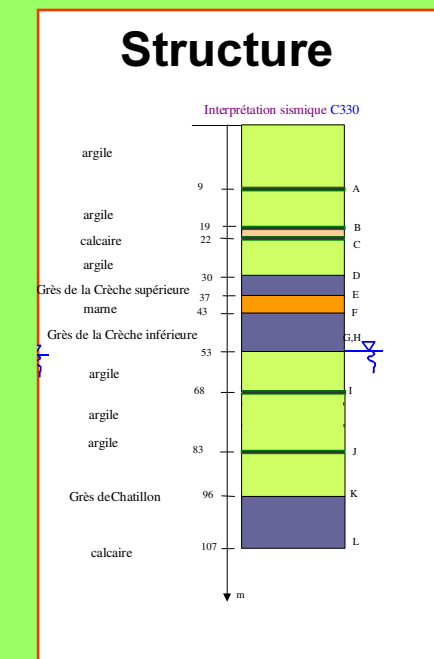
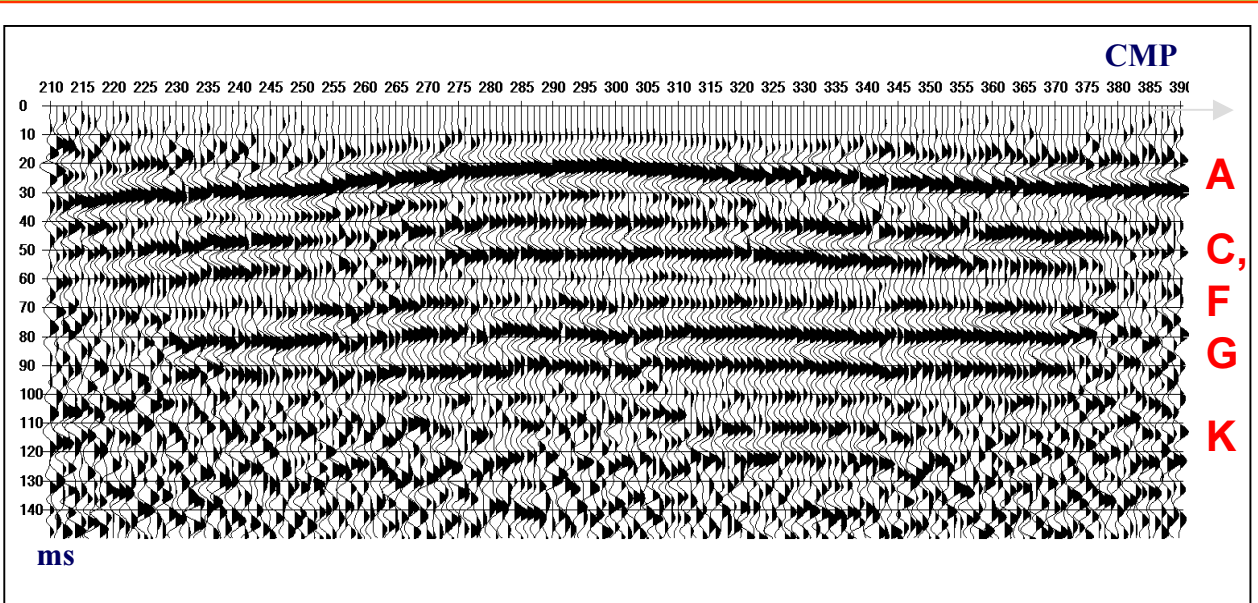
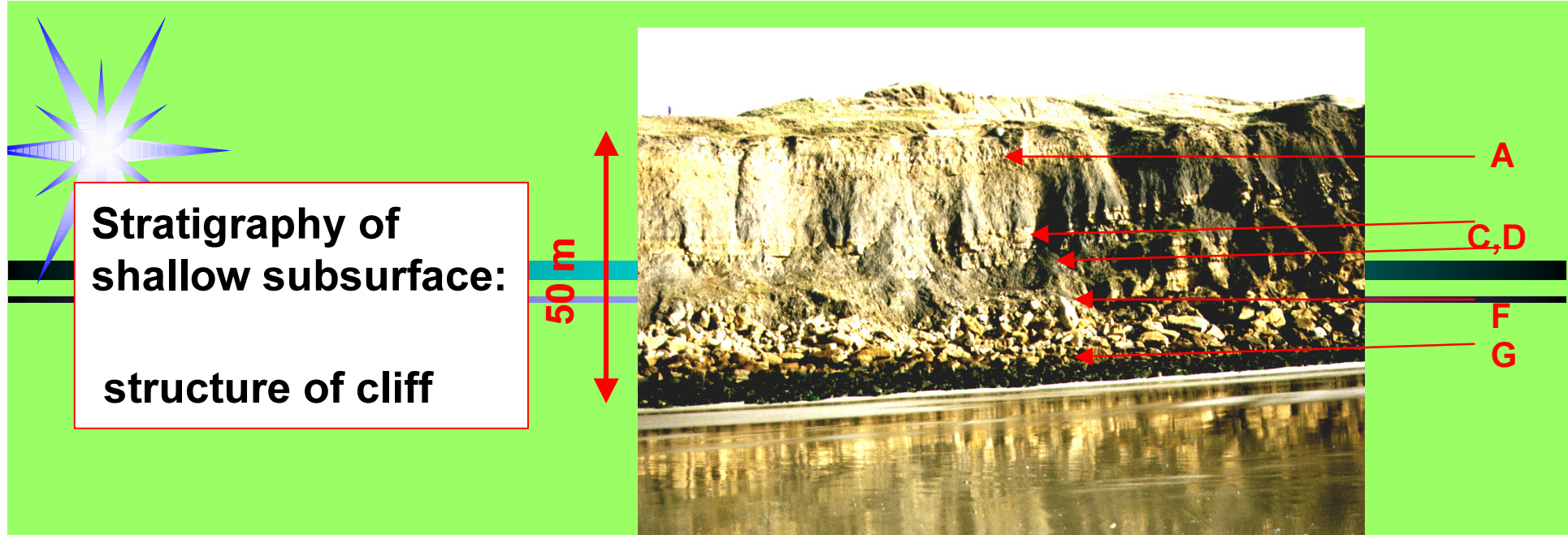
Câble

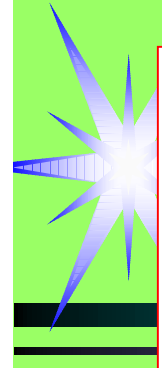


Géophone



Sismographe

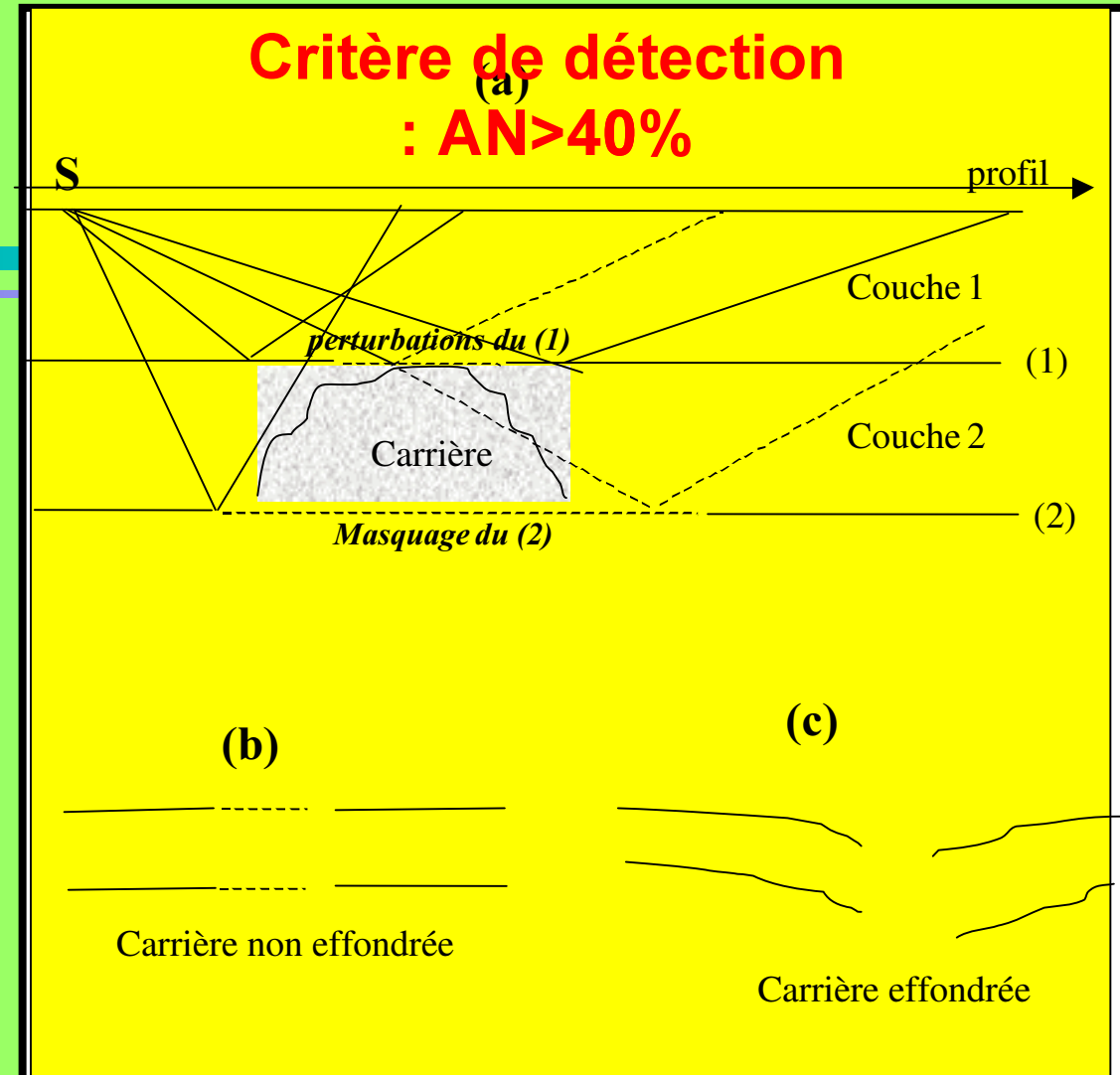
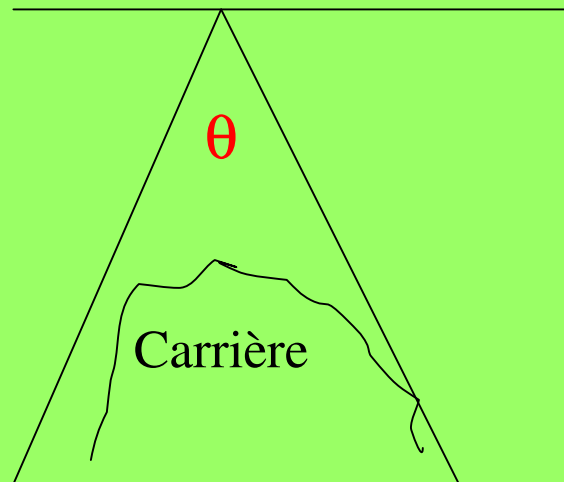




Détection des cavités (1):

Symptômes de présence d'une cavité

$$AN=f(\theta, \lambda)$$





Détection des cavités(2): « effet du masquage »

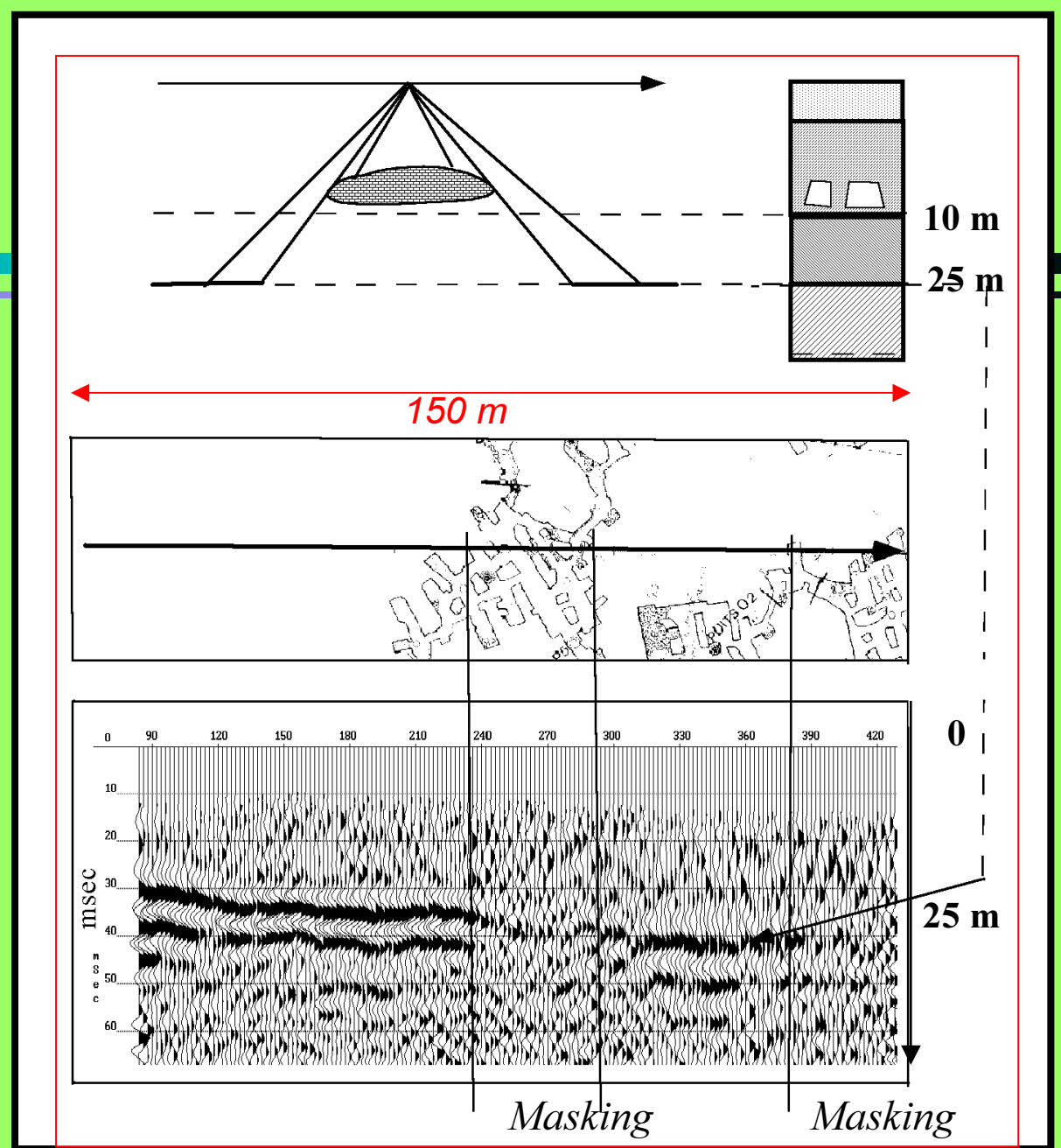
Parameters:

$\Delta \text{CDP} = 1 \text{ m}$

$f = 250 \text{ Hz}$

$\lambda = 5 \text{ m}$

$\delta = 15 \text{ deg}$



Détection des cavités (3):

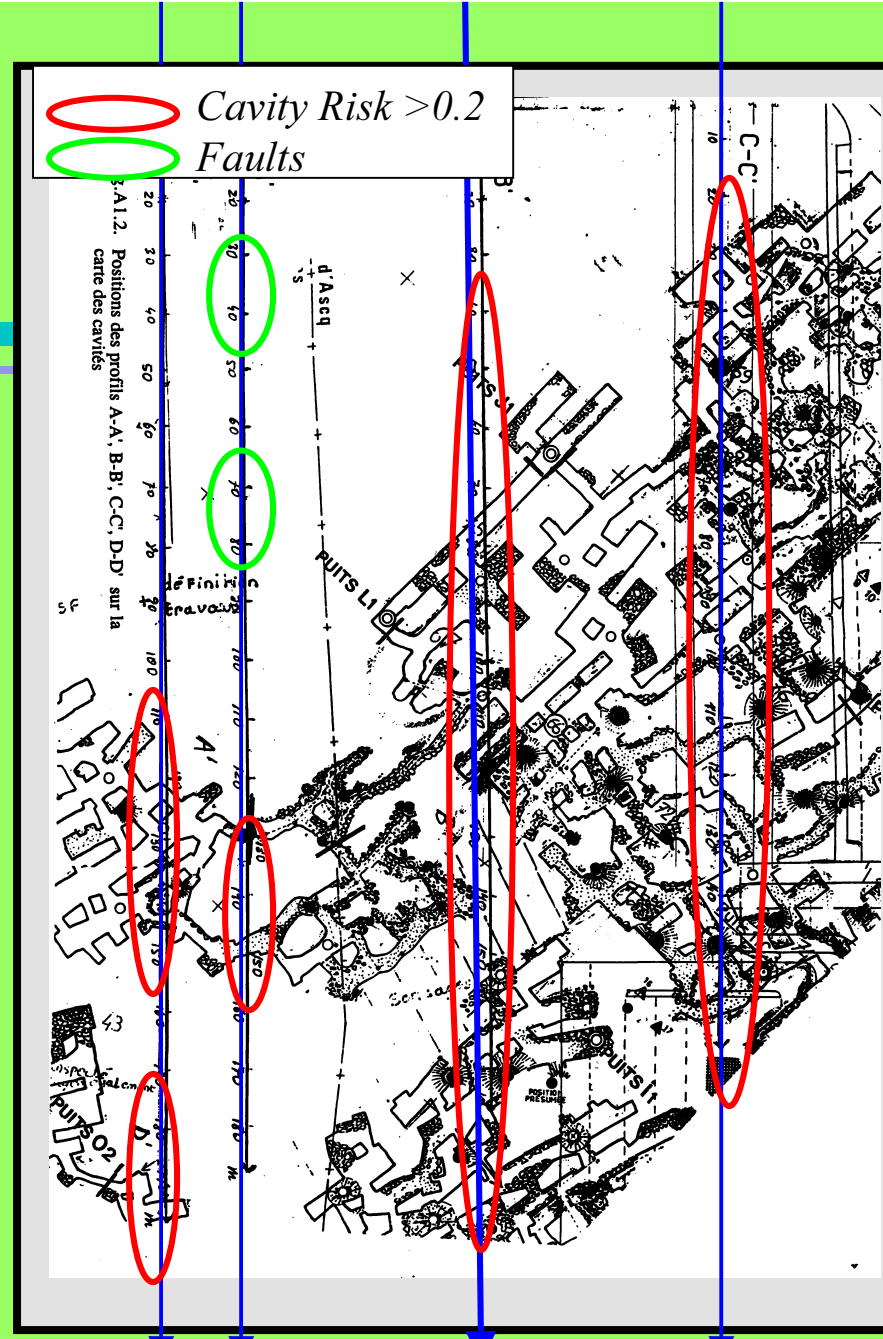
Validation by comparison with
the known positions of tunnels

Parameters:

$\Delta CDP = 0.5 \text{ m}$
 $f = 200 \text{ Hz}$
 $\lambda = 6 \text{ m}$
 $\delta = 20 \text{ deg}$

RESULTS

- 100% of tunnels detected



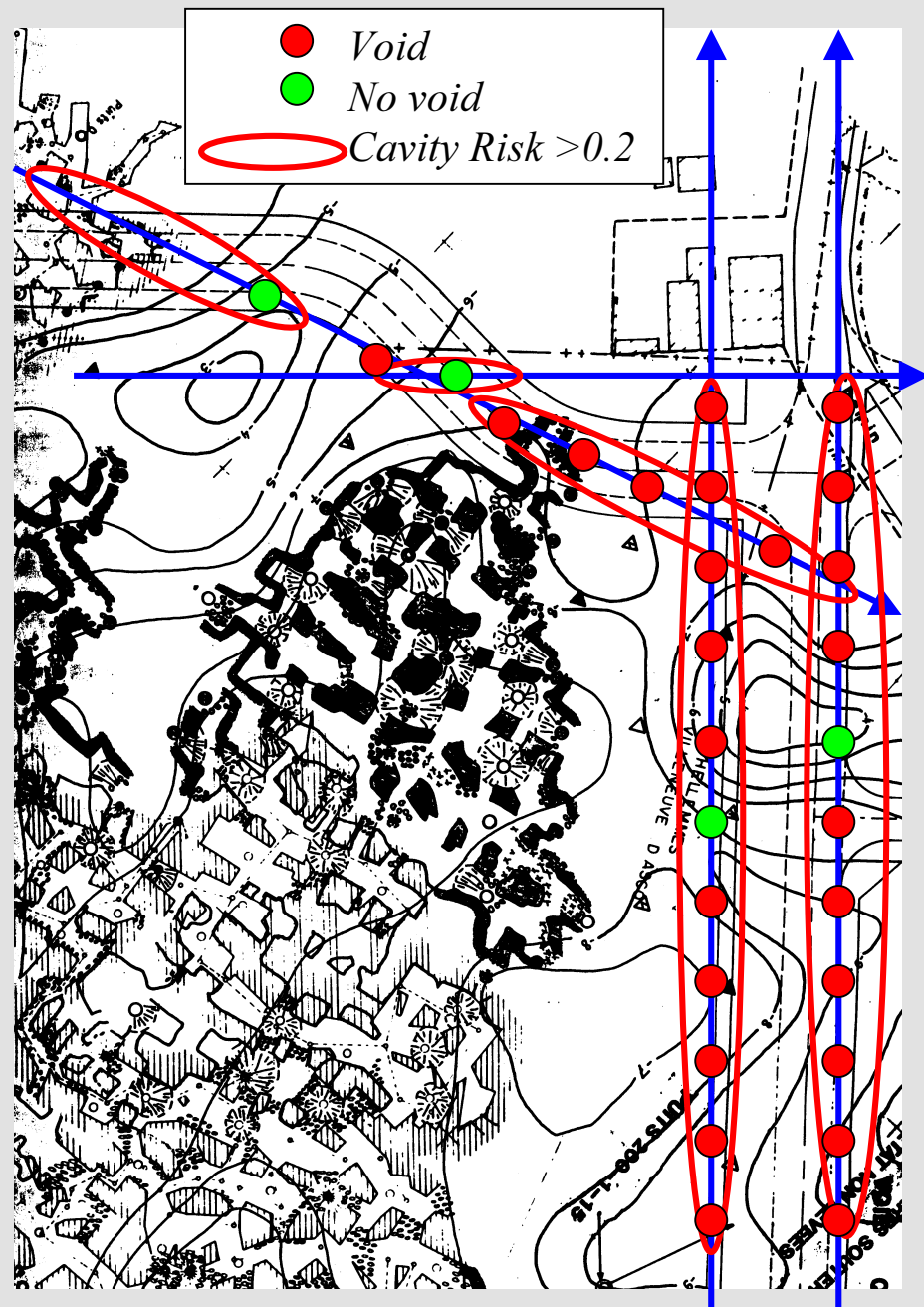
Détection des cavités: Validation par drilling

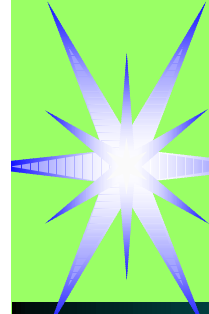
Parameters:

$\Delta CDP = 0.5 \text{ m}$
 $f = 200 \text{ Hz}$
 $\lambda = 6 \text{ m}$
 $\delta = 20 \text{ deg}$

Validation by drilling

- 80% of detections confirmed
- precision of the depth of void greater than 15%

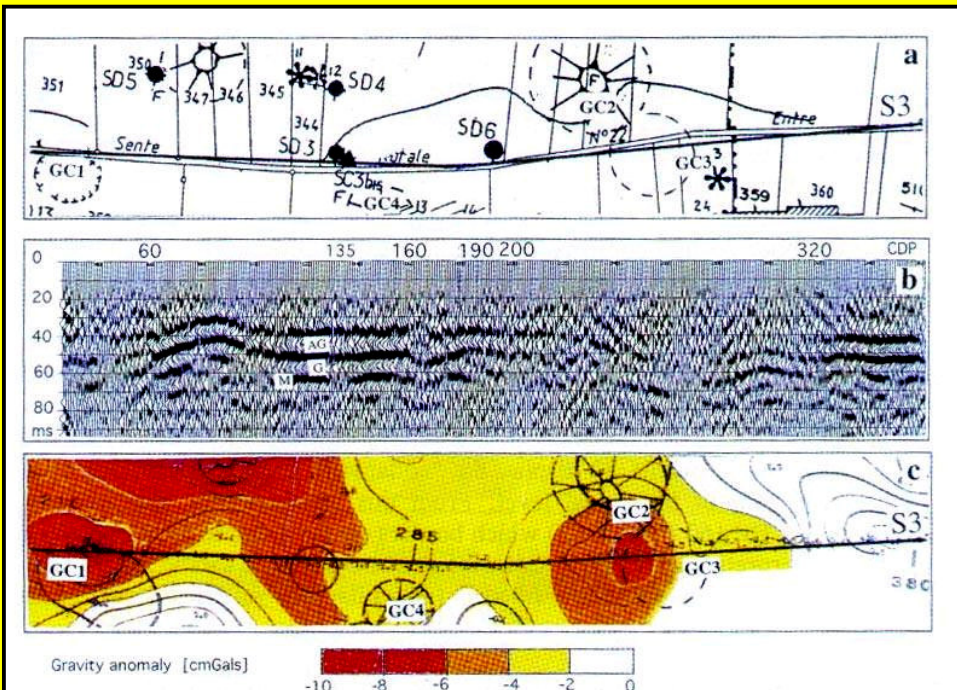




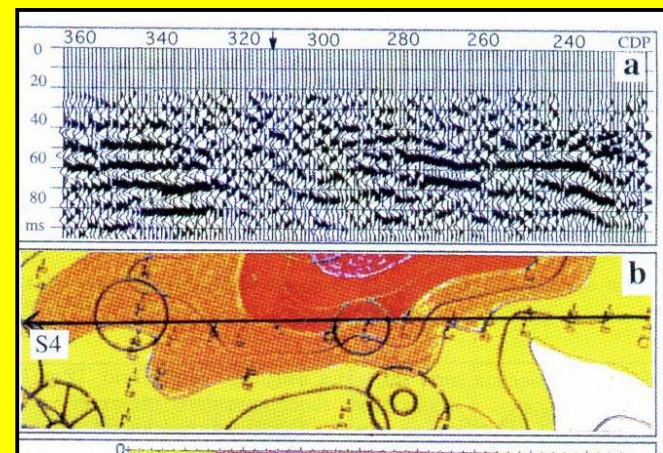
Détection d'anciennes carrières de gypse dans la région parisienne

Validation de différentes méthodes(1)

Carrière effondrée



Carrière non effondrée

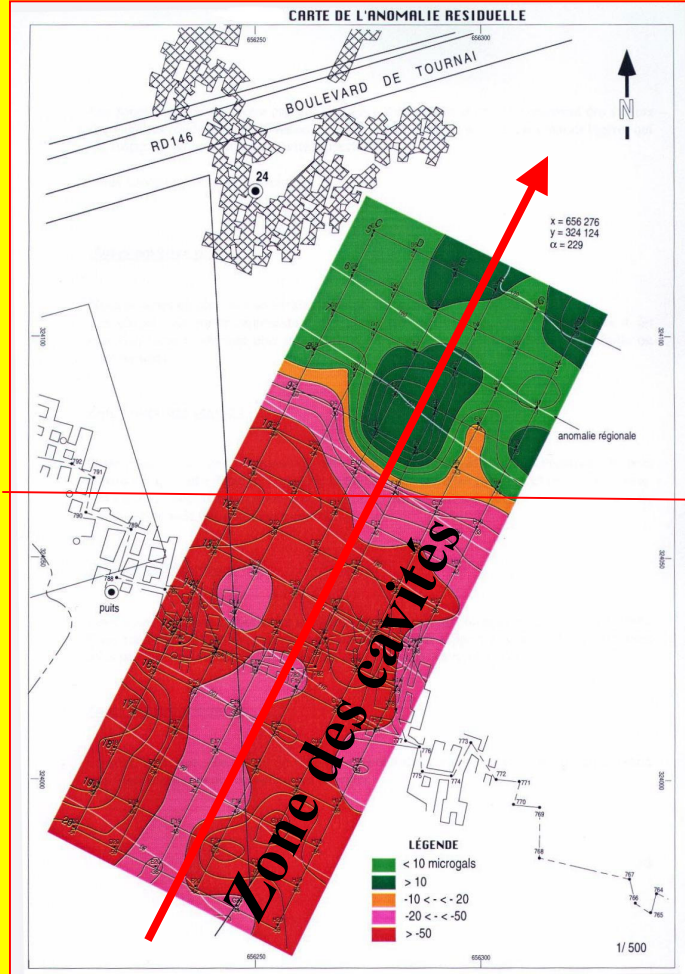


(a) Location of profile S3, in relation to the positions of ground collapses GC1, GC2, GC3 and GC4. (b) Seismic section for profile S3. (c) Gravity anomalies for the area along profile S3.

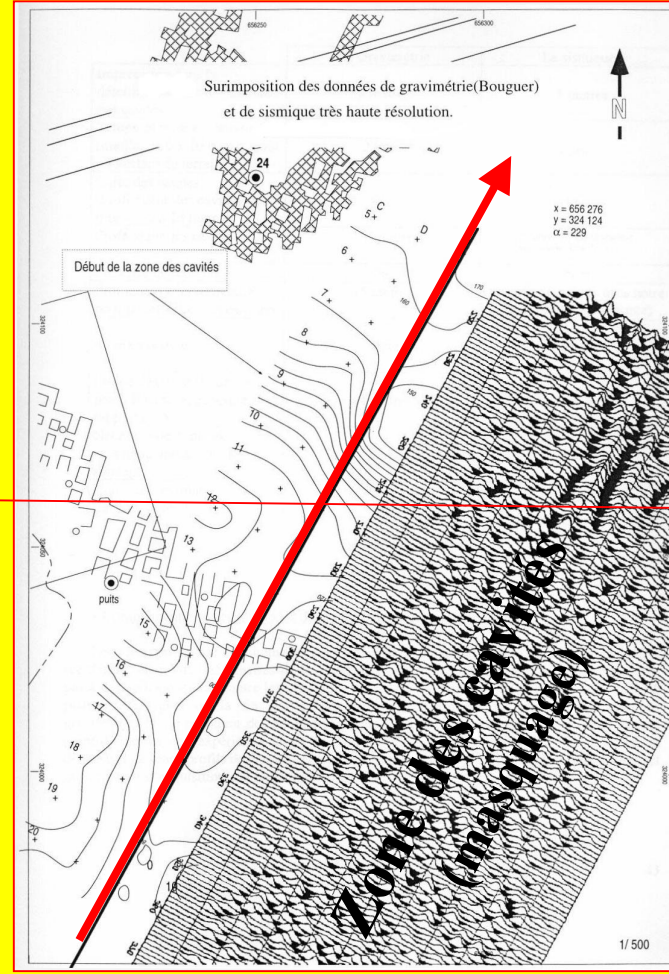
Détection d'anciennes carrières de gypse dans la Région du Nord

Validation de différentes méthodes (2)

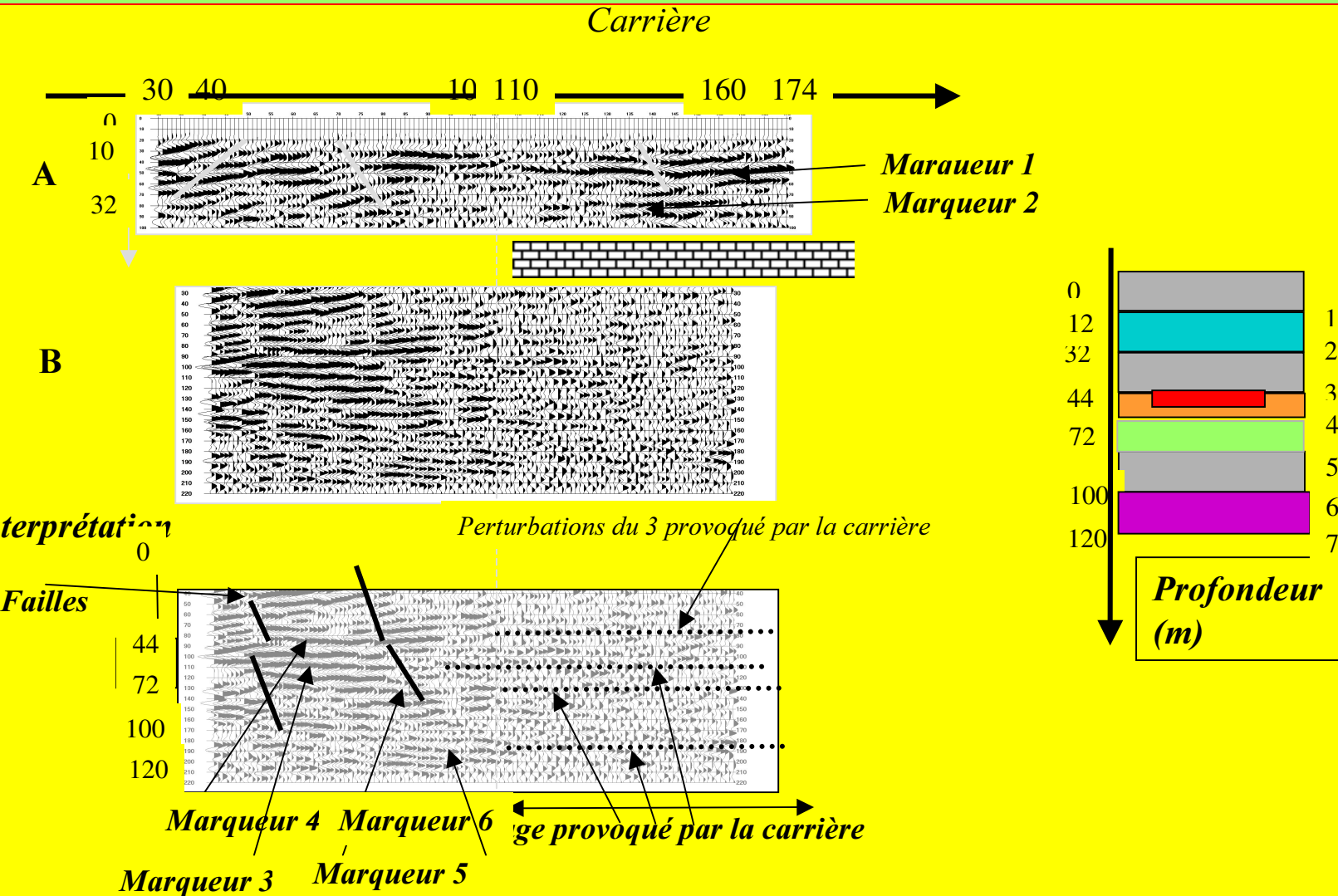
Gravité



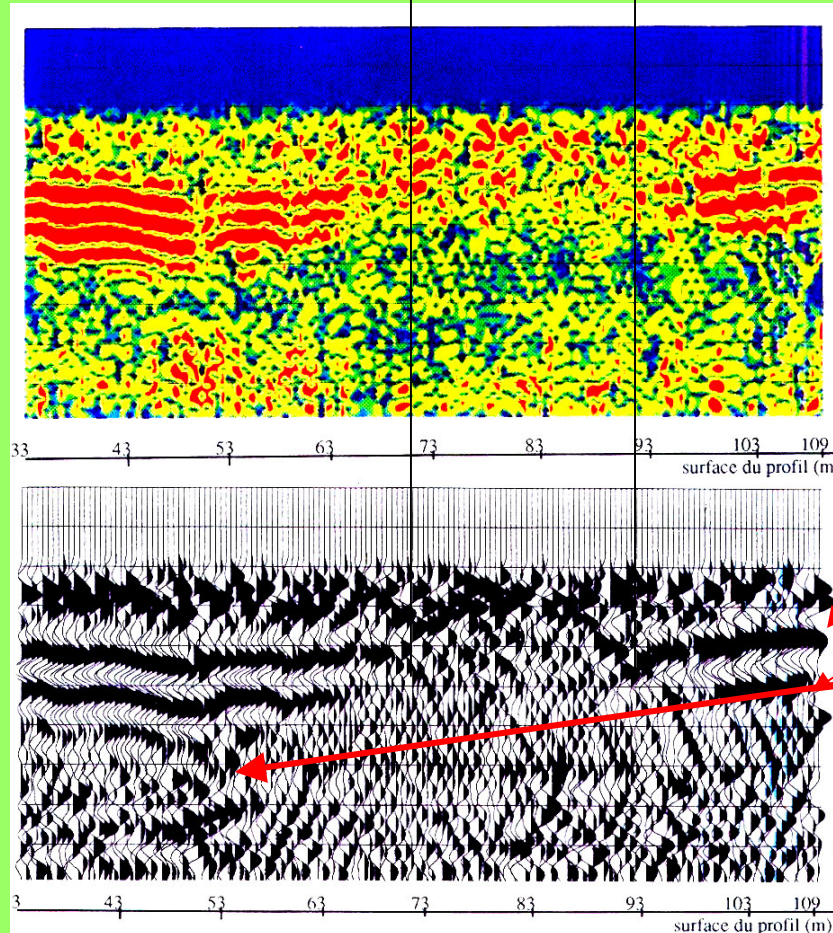
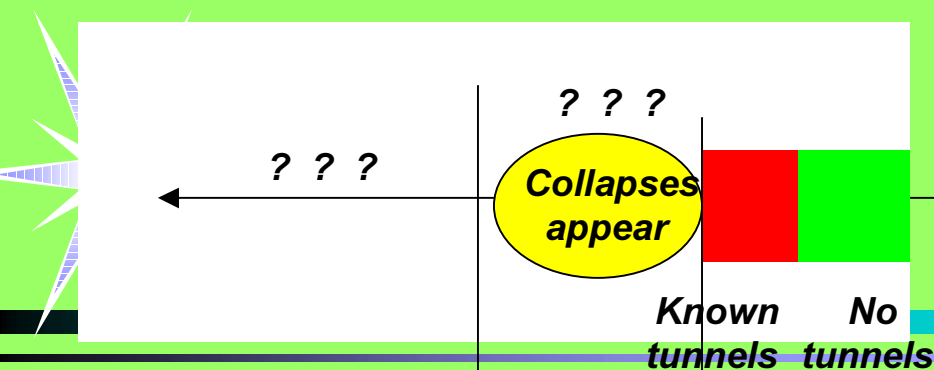
SHR



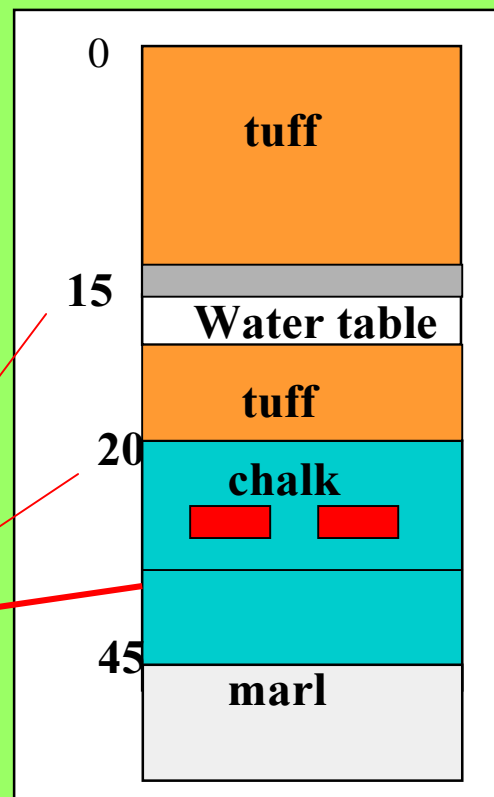
Detection des les marnières de la Haute Normandie avec l'NERIS, & la Sovep (2002)



Evaluation of risk of collapse of an underground chalk pit (1)



Geological structure



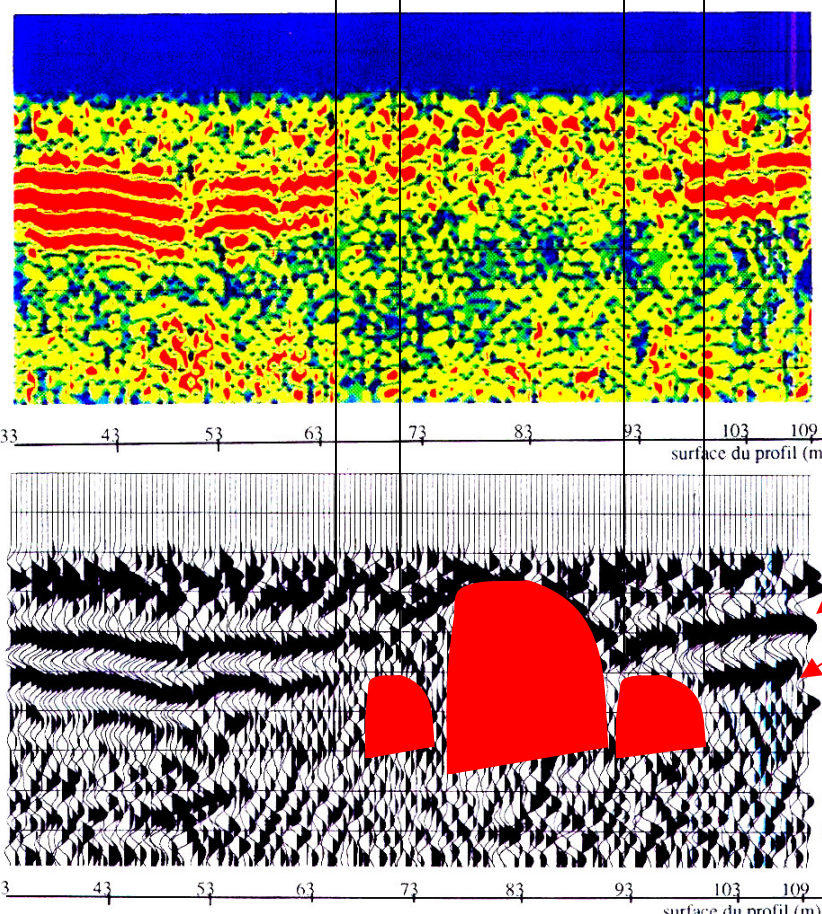
Interpretation

Risk of collapse

No tunnels

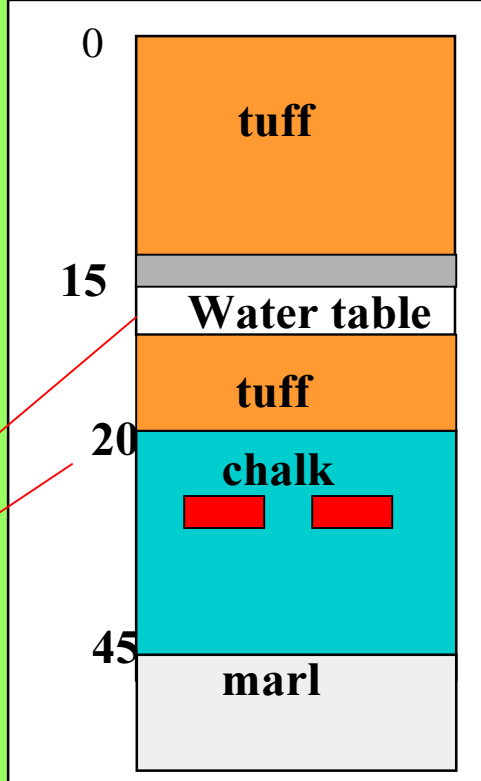
Tunnels

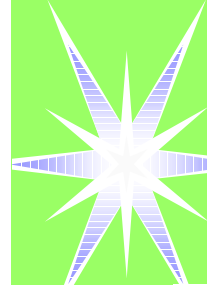
No tunnels



Evaluation of risk of collapse of an underground chalk pit (2)

Geological structure

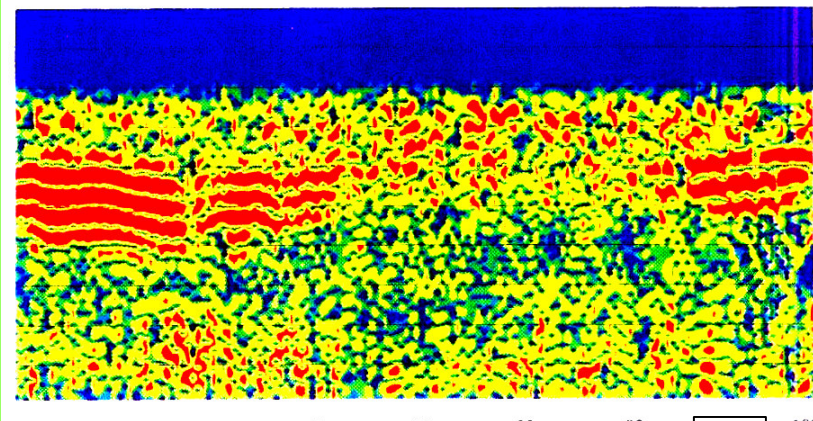




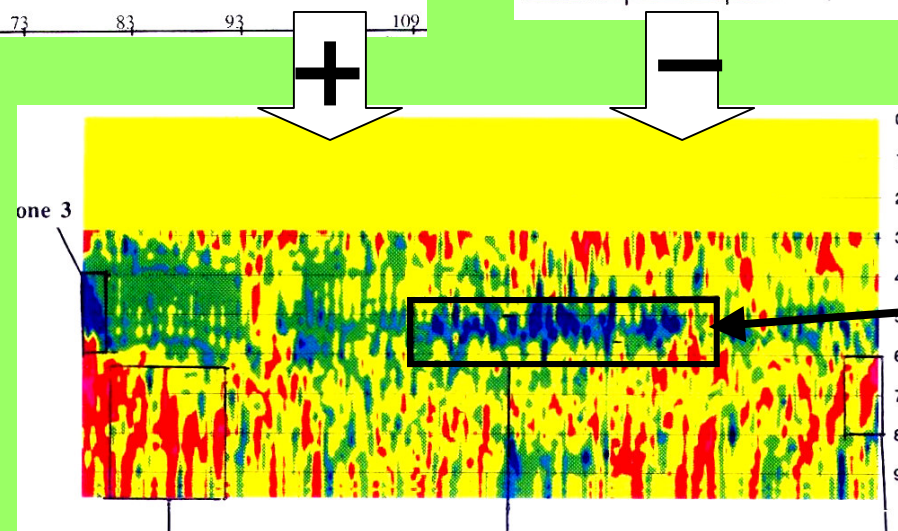
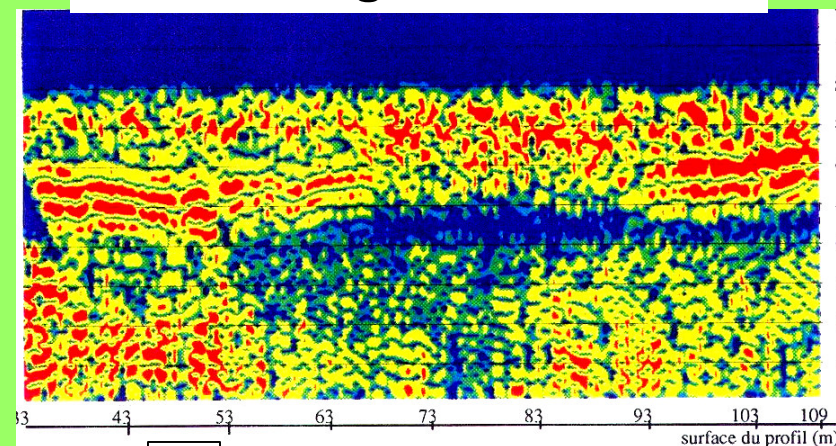
Evaluation of risk of collapse of an underground chalk pit (2)

Verification of the filling in of tunnels

Before filling-in the tunnels

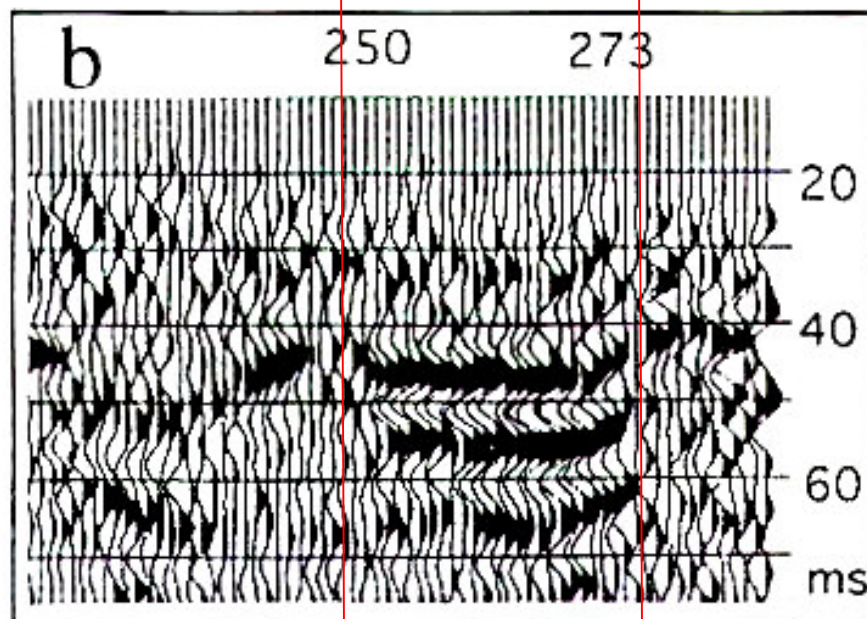
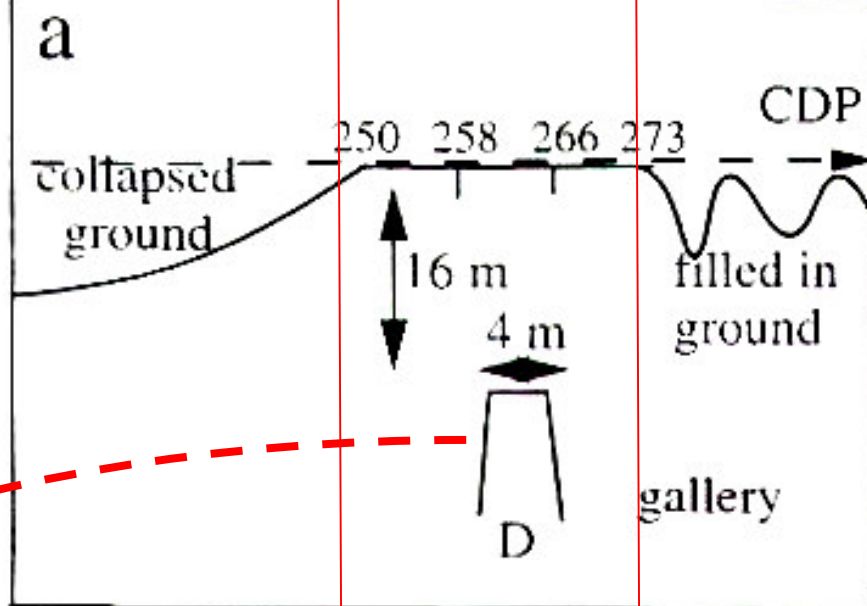
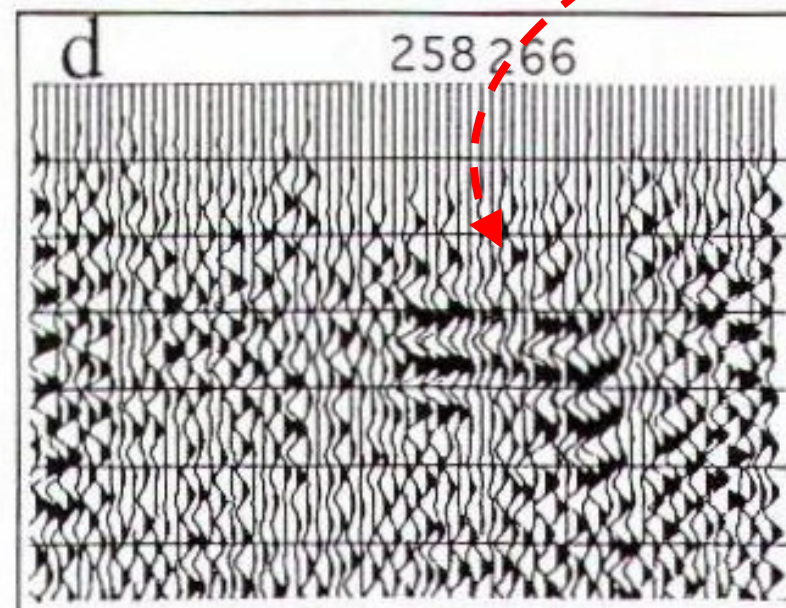


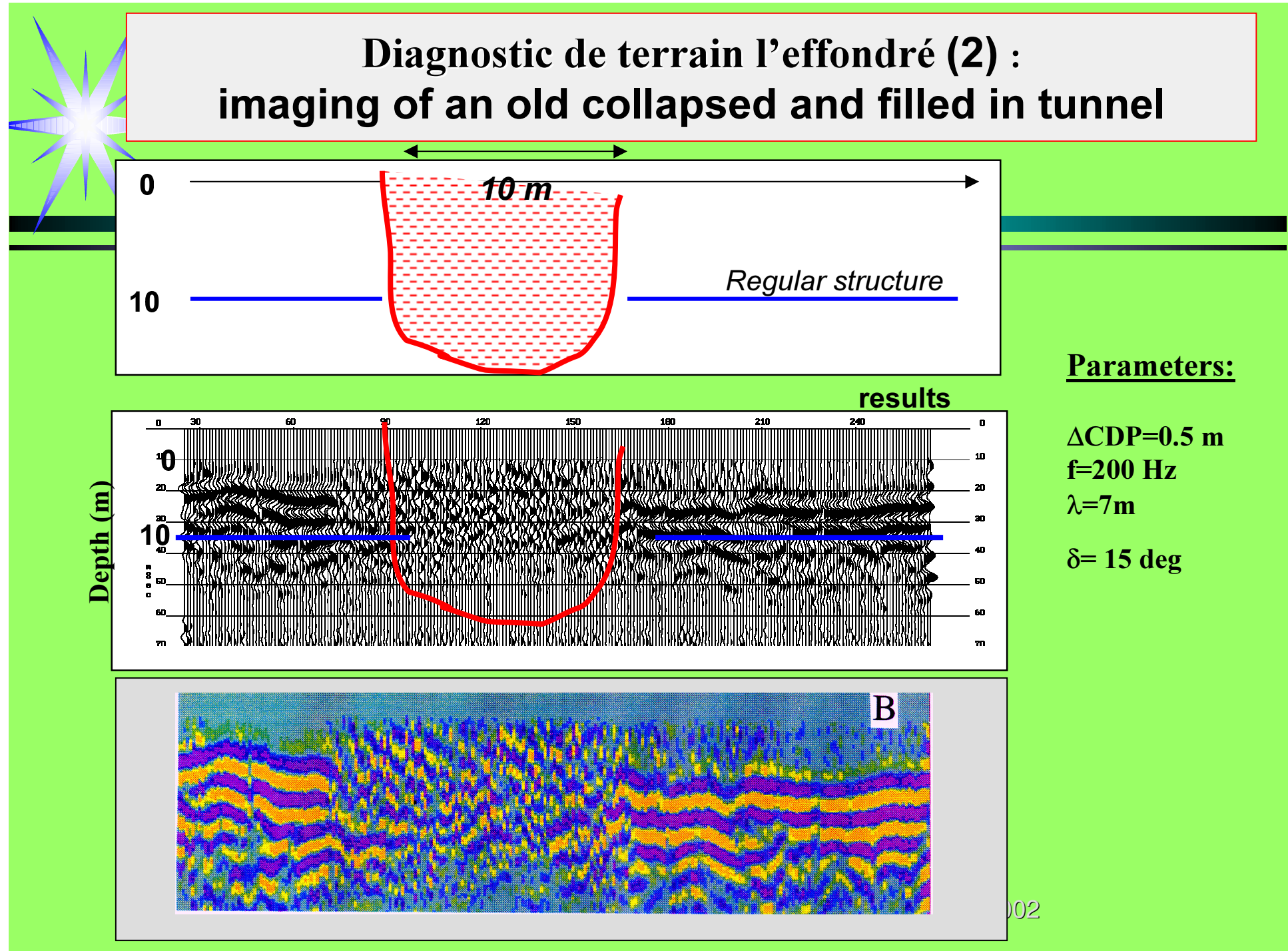
After filling-in the tunnels

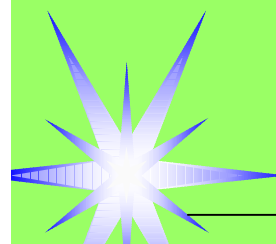


Diagnostic de terrain l'effondré(1)

Détection d'anciennes carrières de gypse dans la région parisienne
(avec l'Ineris 1996)

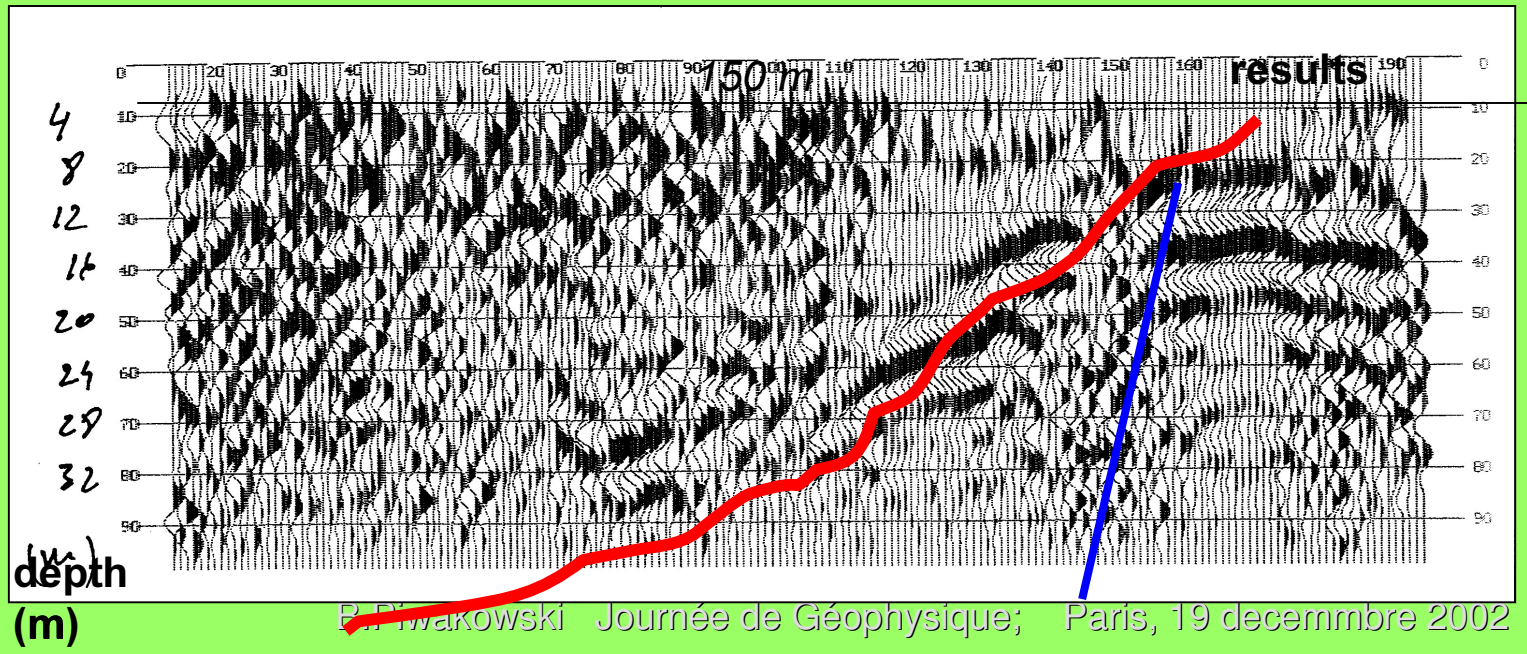
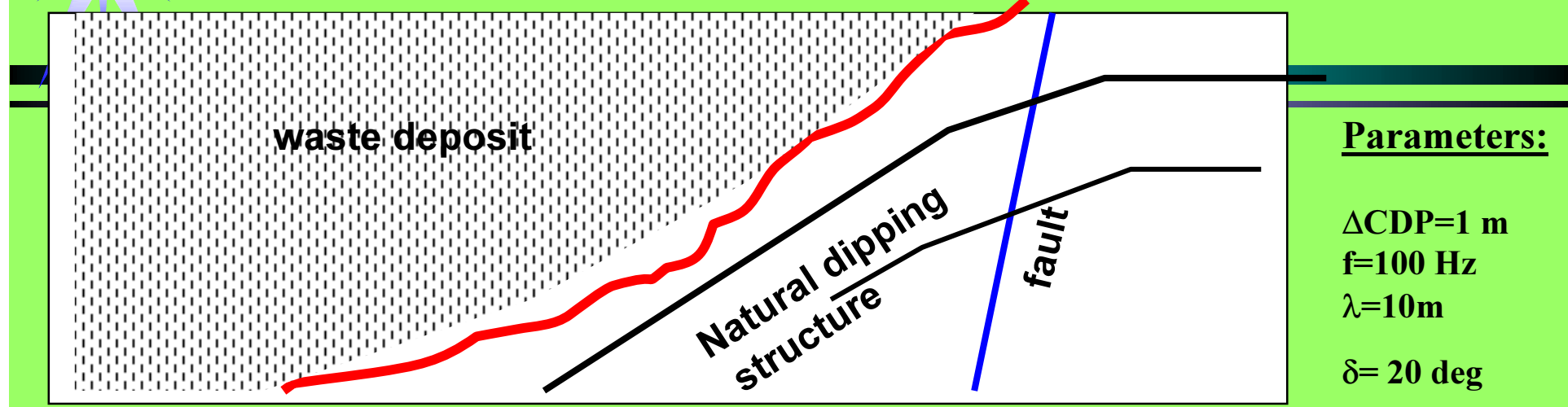




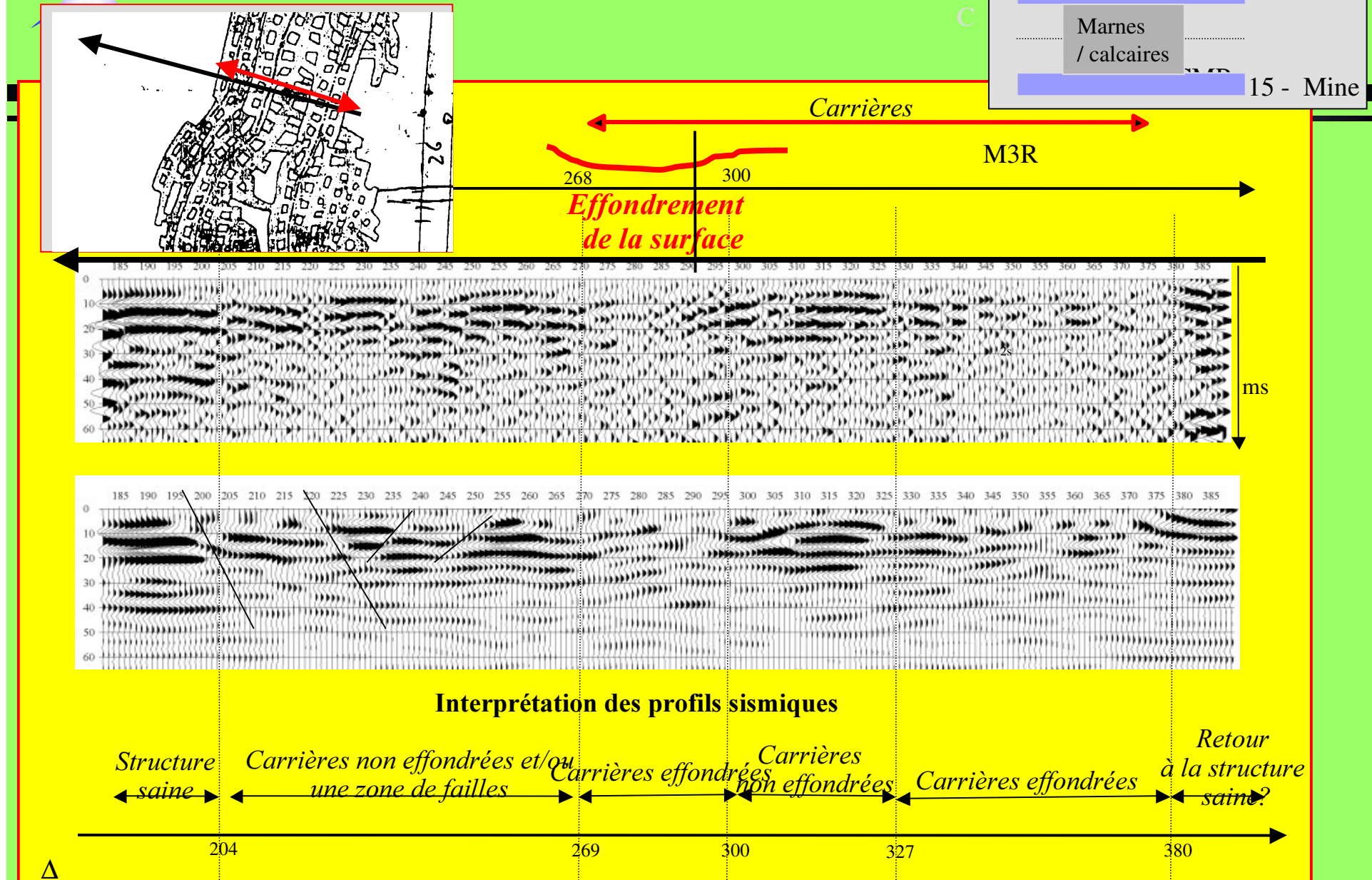


Diagnostic de terrain l'effondré (3) : old waste deposit imaging

interpretation

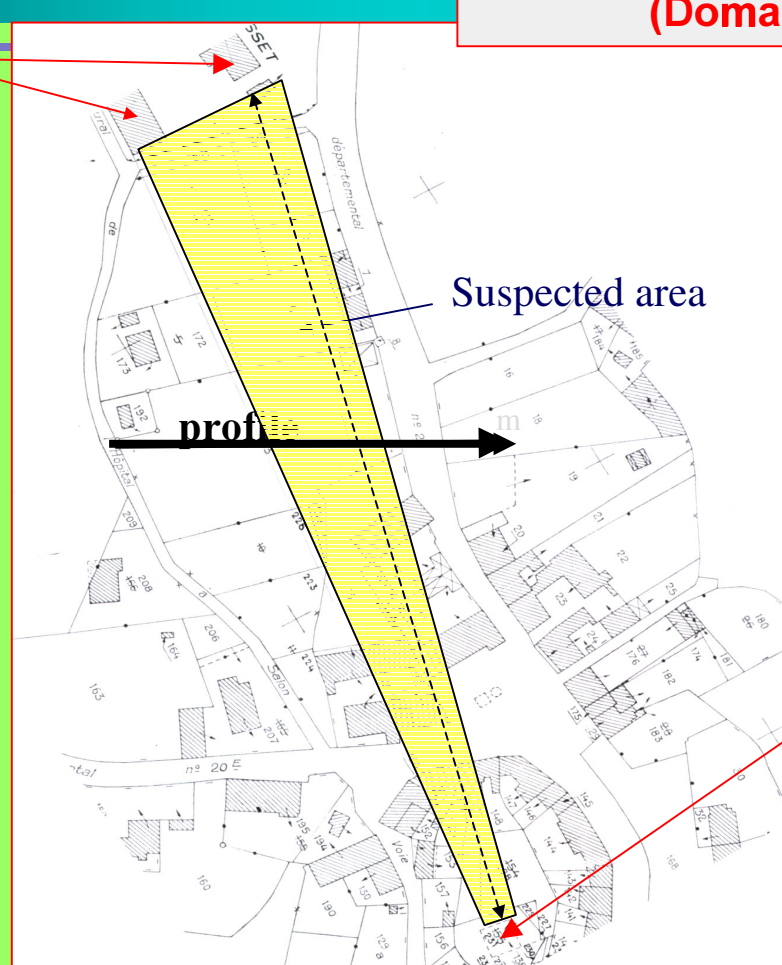


**Évaluation de l'état (saine – effondrée)
Détection des anciennes carrières de ciment
(l'INERIS EC-Lille SOVEP 2000)**



Archaeological research (1)

15th Century Castle



Objective:

to find the underground tunnel
linking the castle with the keep

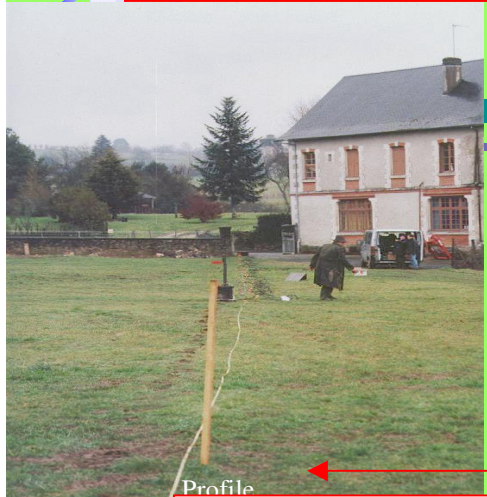
(Domain of the use of GPR)

12 th Century Keep





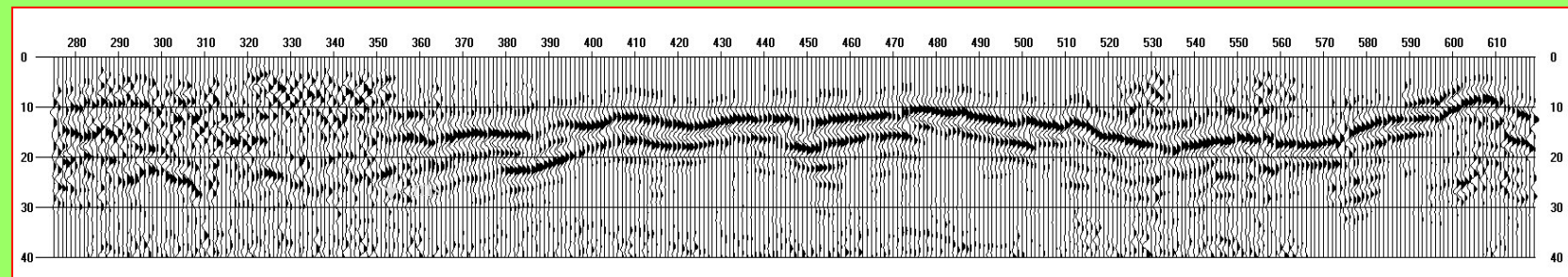
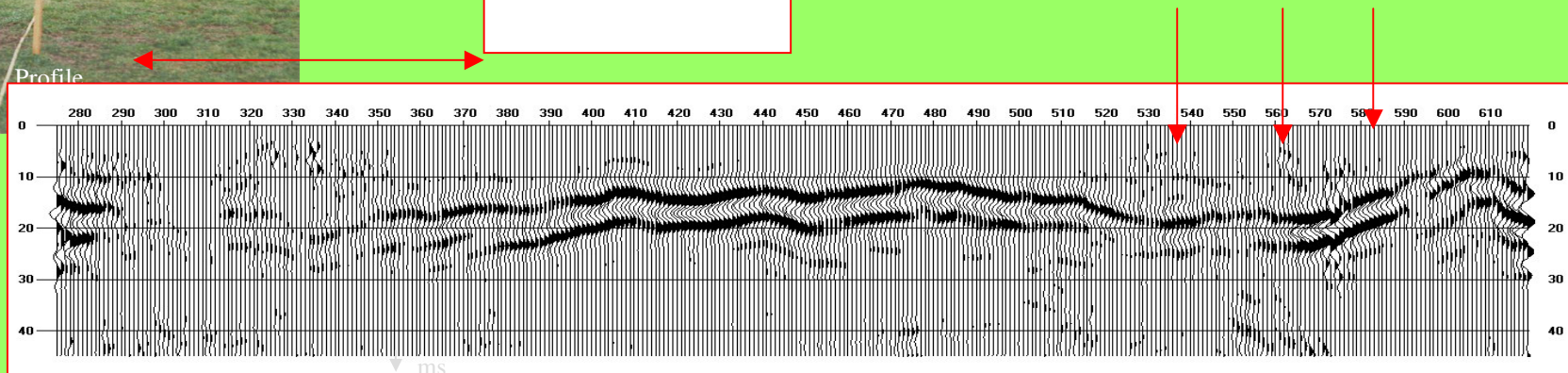
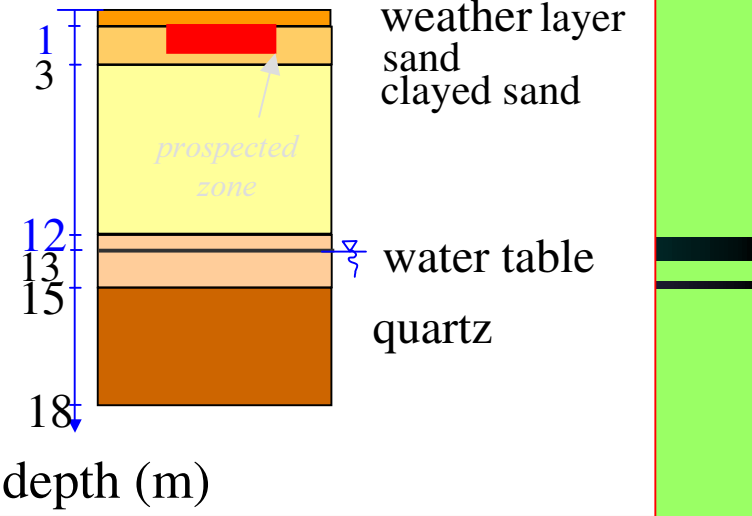
Archaeological research (1)



Profile

Parameters:

$\Delta\text{CDP}=0.25 \text{ m}$
 $f=300 \text{ Hz}$
 $\lambda=3 \text{ m}$
 $\delta=18 \text{ de}$



Archaeological research (2° : Detection of the underground aqueduct (built in 96 A.C.).

Floursies-Bavay aqueduct
Test area 'Dourlers'
'Murs des Sarrazins'
400 MHz Antenna
Profile 6

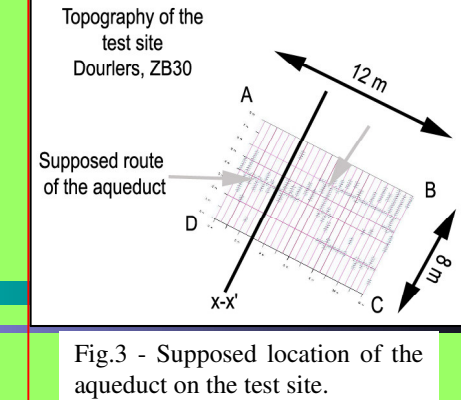
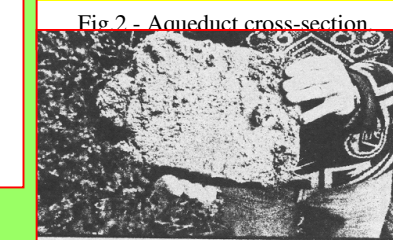
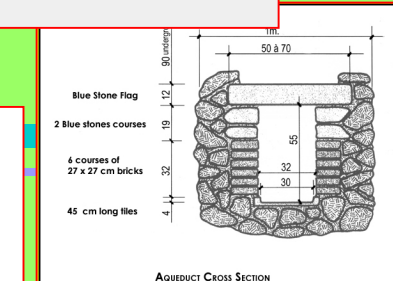
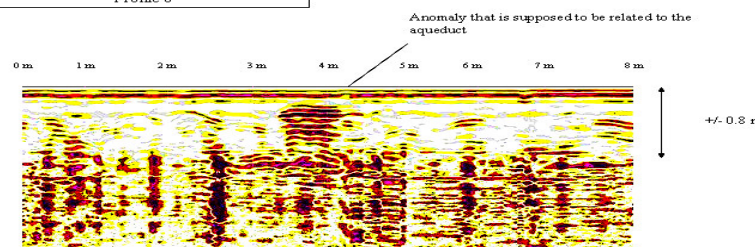
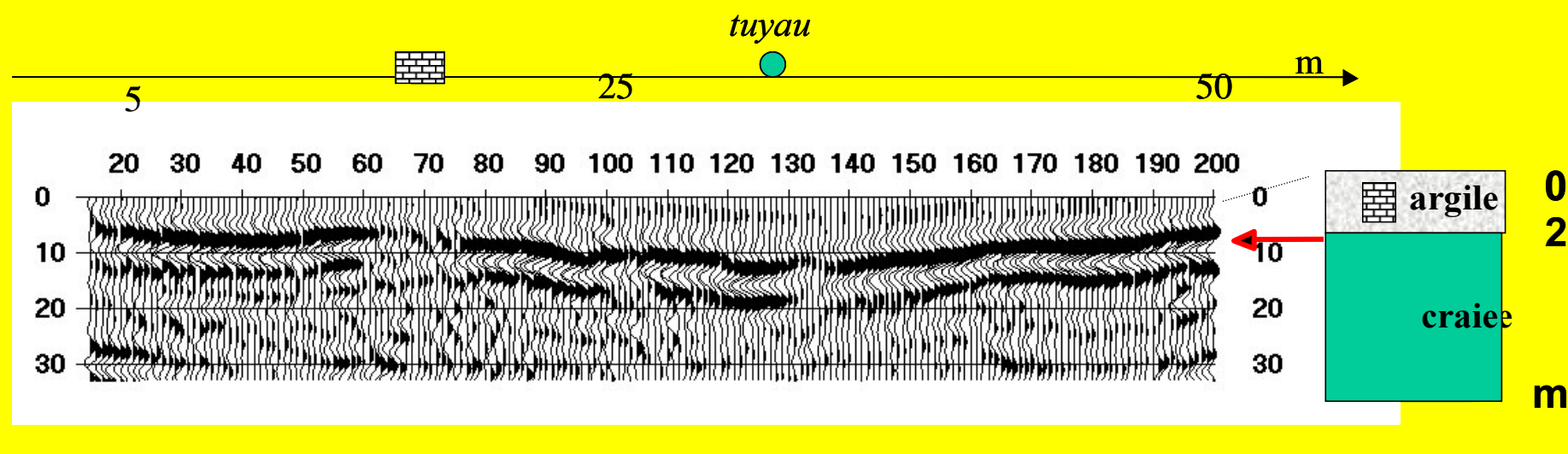
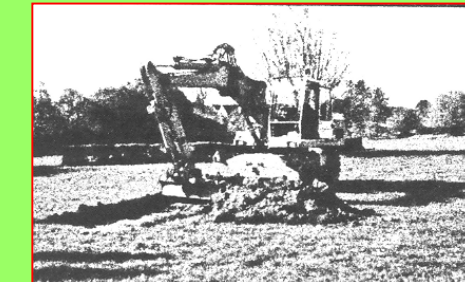
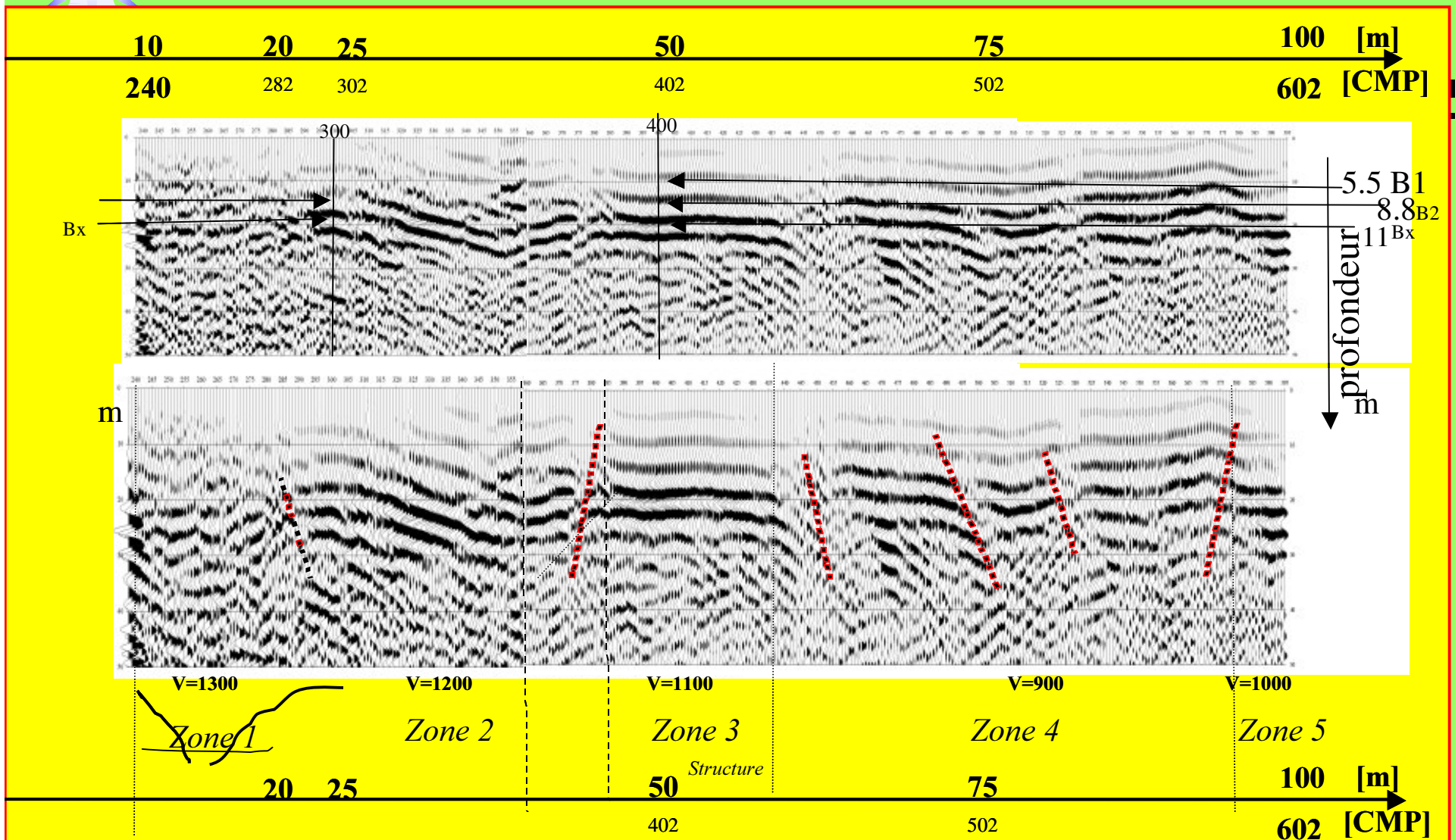


Fig.3 - Supposed location of the aqueduct on the test site.

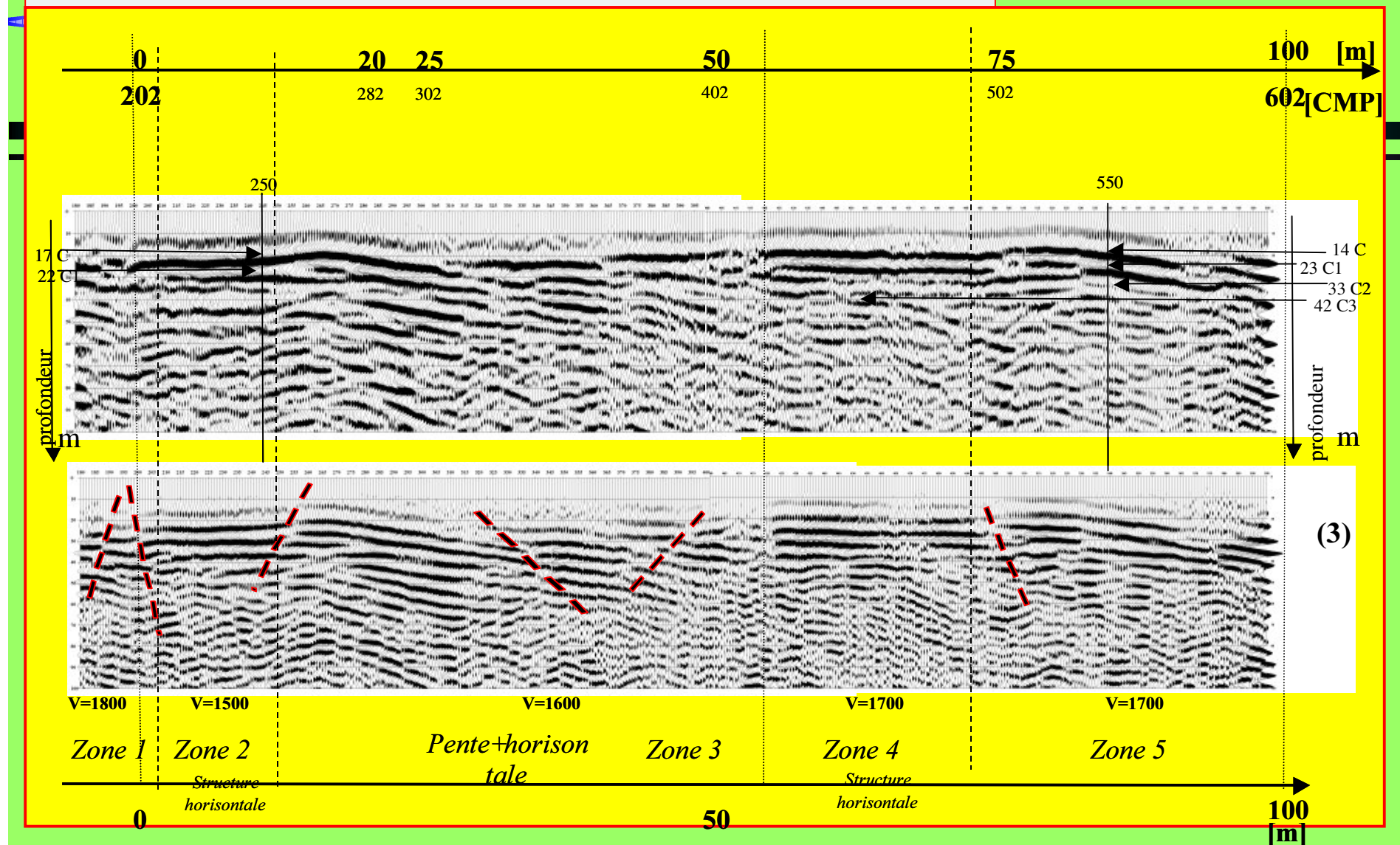


Imagerie des failles de subsurface (1);
 Profile 1 , profondeur 3 – 10 m
 (avec la Sovep 2002)



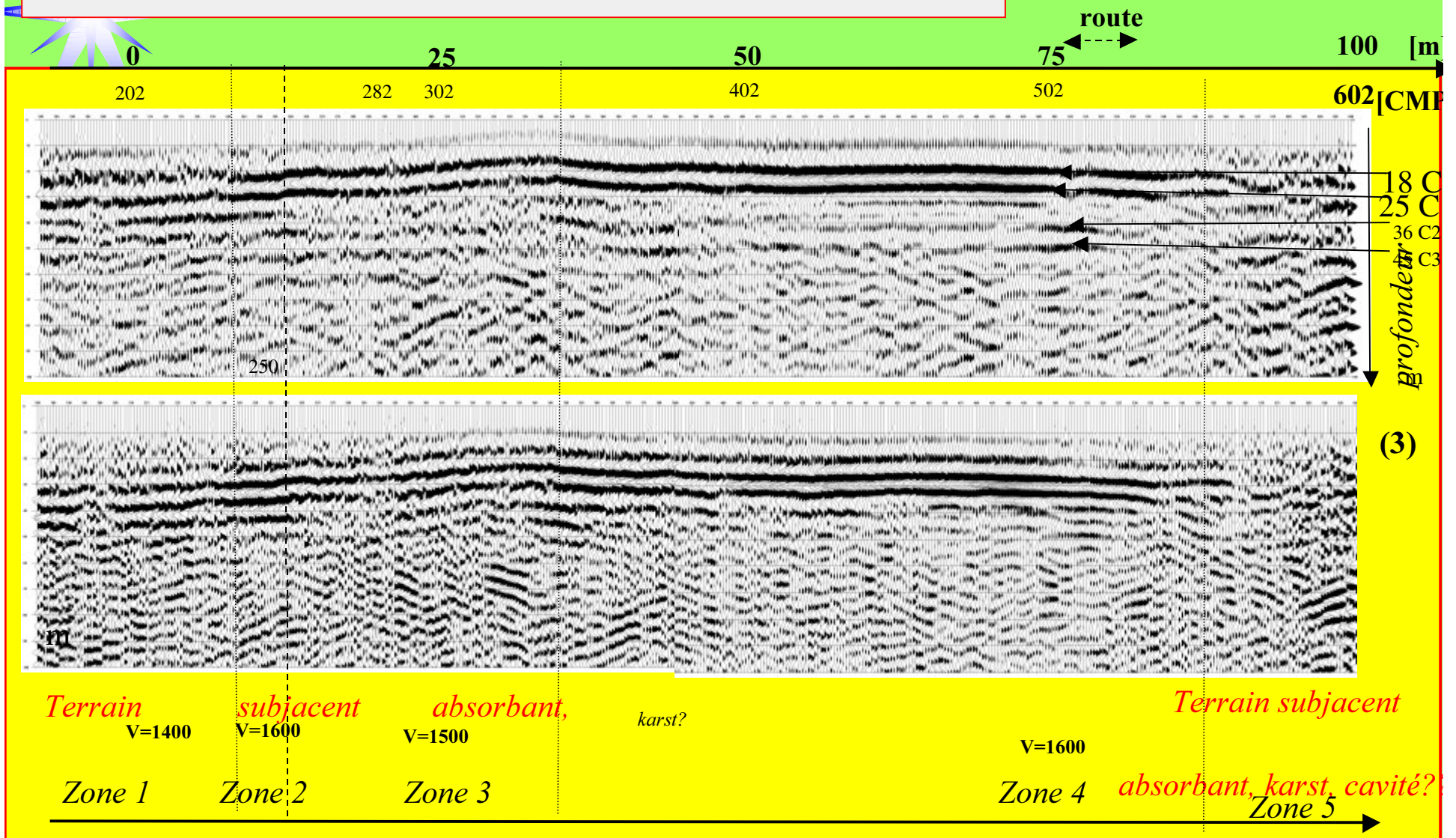
Imagerie des failles de subsurface (2)

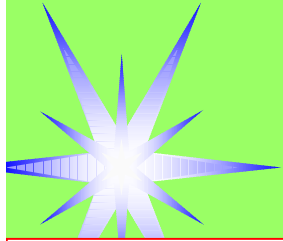
profile 1 : profondeurs 14-35 m



Imagerie des failles de subsurface (3)

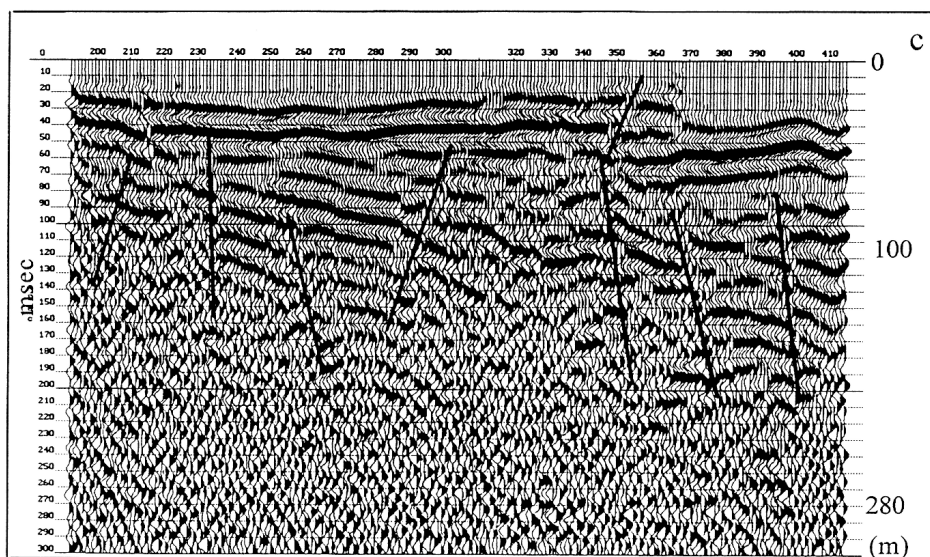
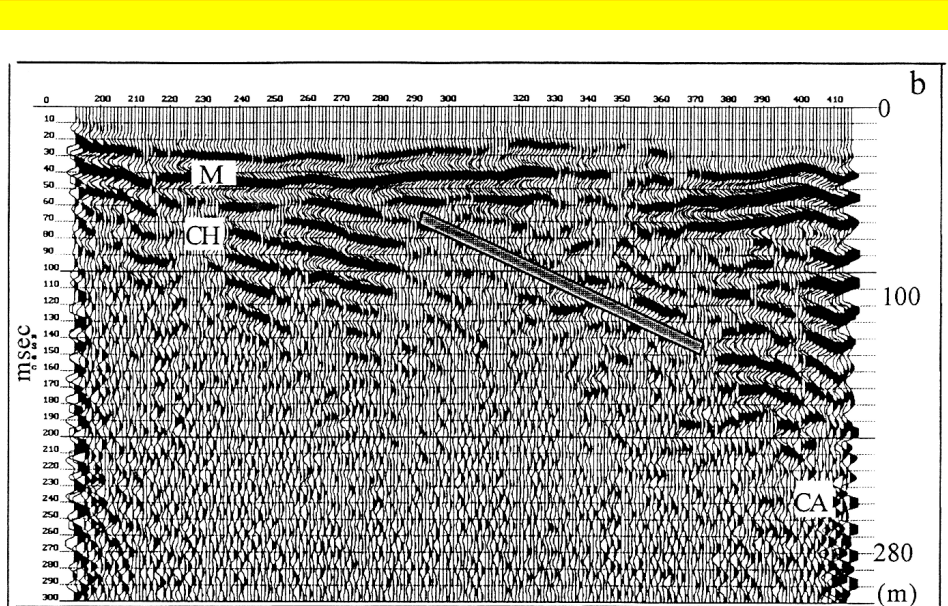
Profile 3: profondeurs 14-35 m

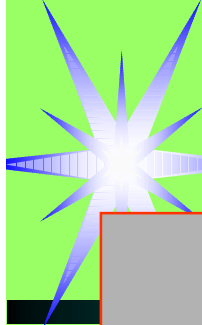




Site minier (1)

- Image de l'ancienne mine de charbon (profondeur de 30 à 120 m)
- Effondrement?
- Failles





Site minier (2)

Effondrements de surface



Objective of study:

Verify how HRS may help in:

- Imaging of structure modification
- Imaging of collapsed zones
- Check for the faults presence

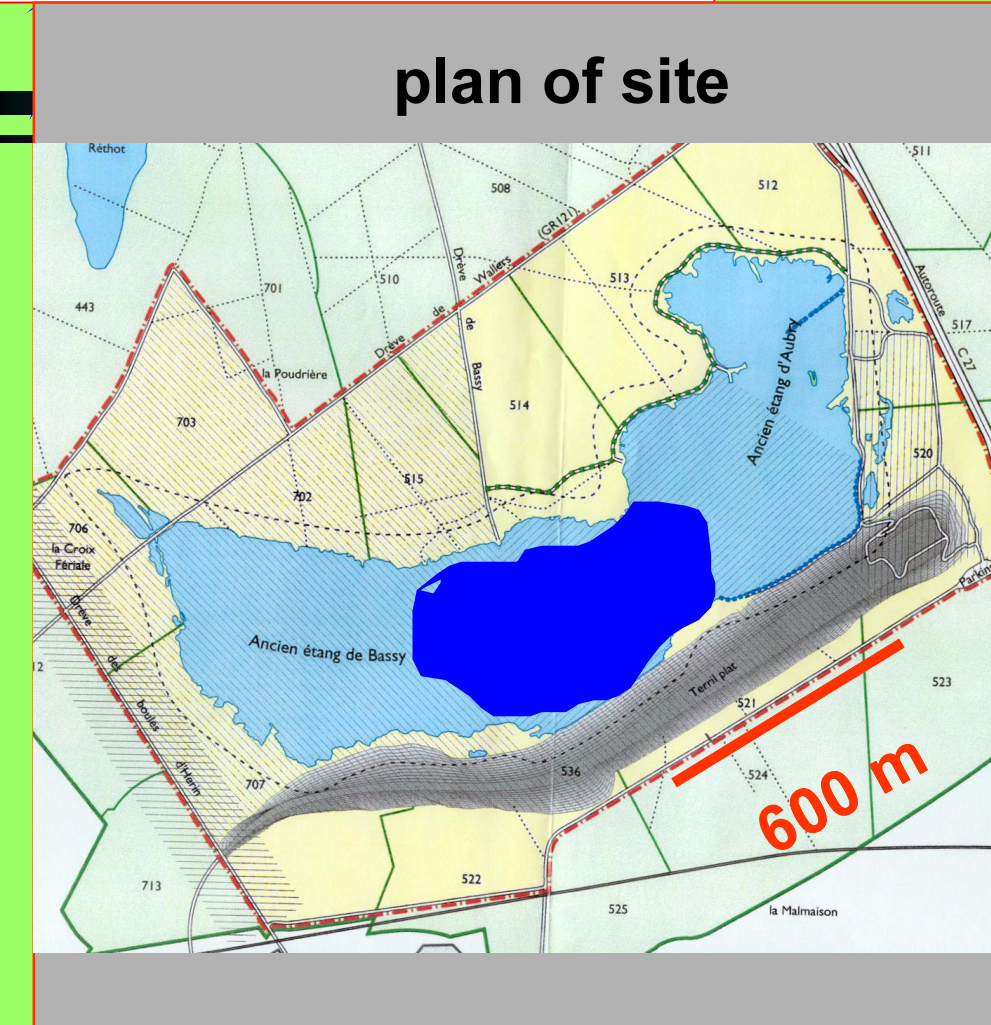
Site minier (2)

Collapsing mines occurring at depth varying from 120 to 400 m

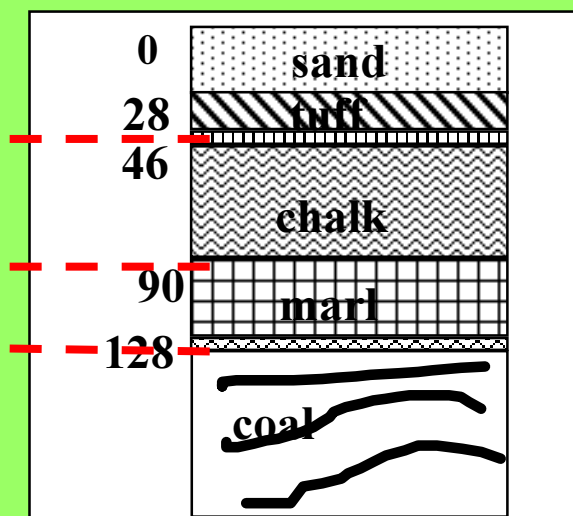
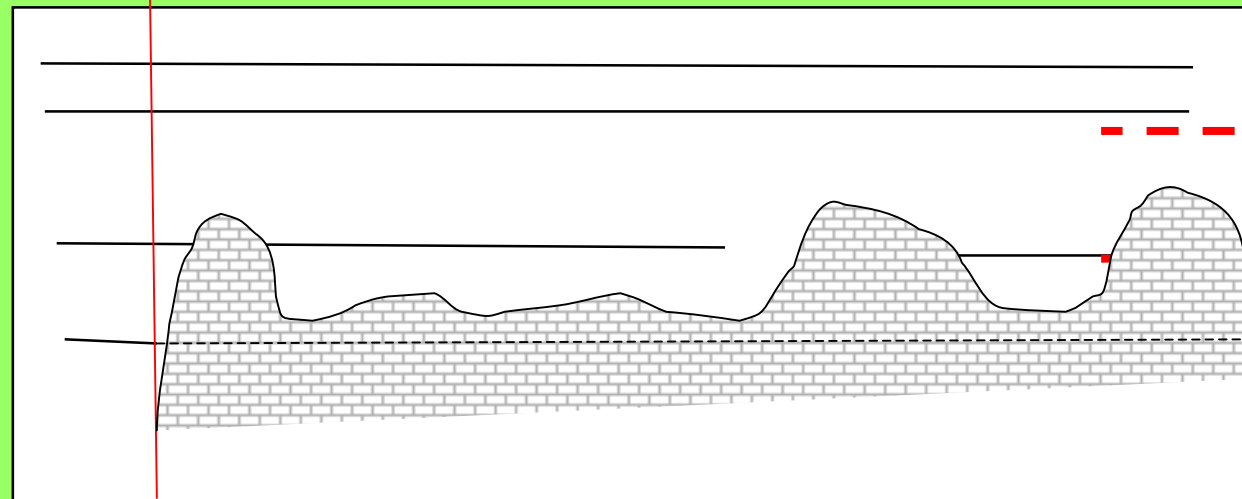
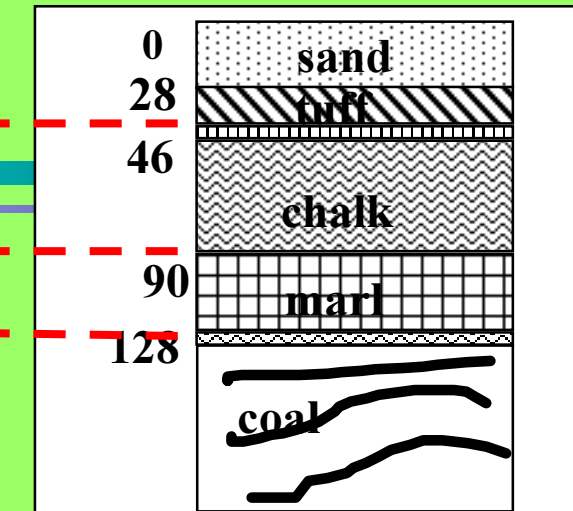
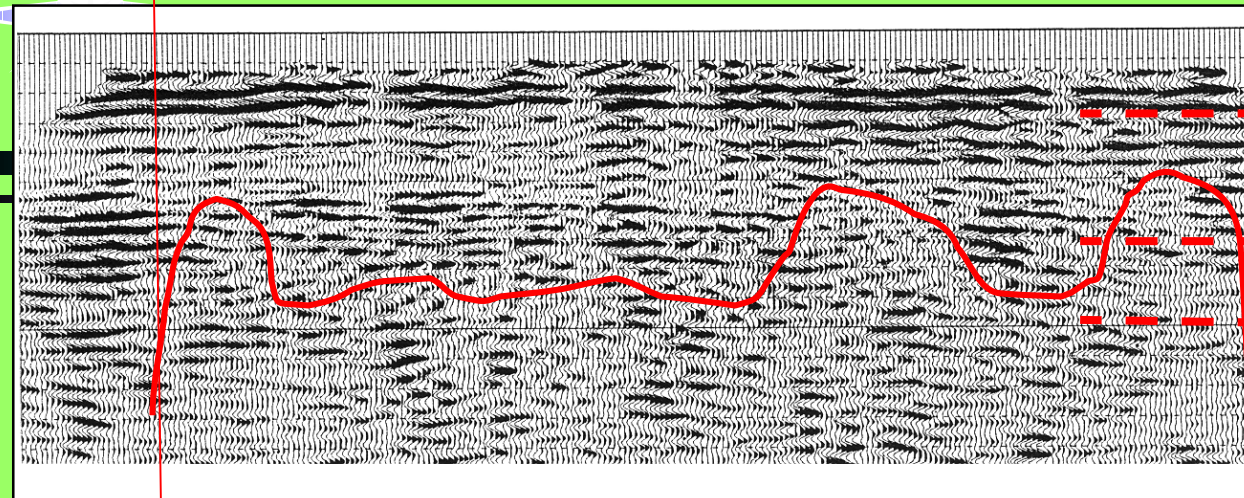
- Intensive coal exploration
- Ground collapses

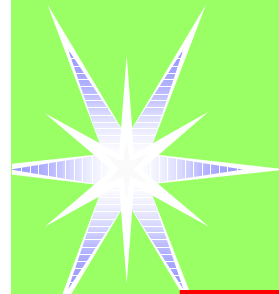
→ Surface of the lake has increased three times during last 80 years

plan of site

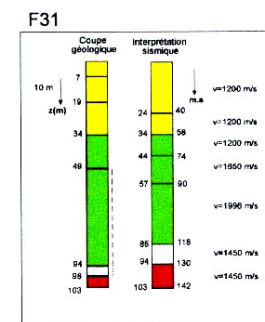
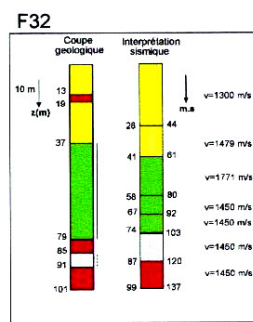
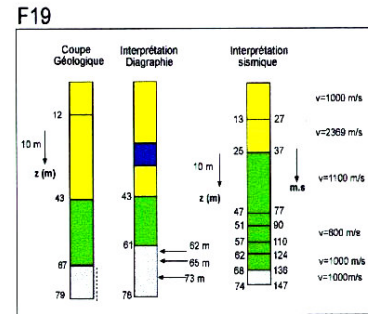
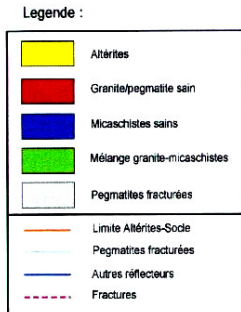


Site minier (2) :Interpretation



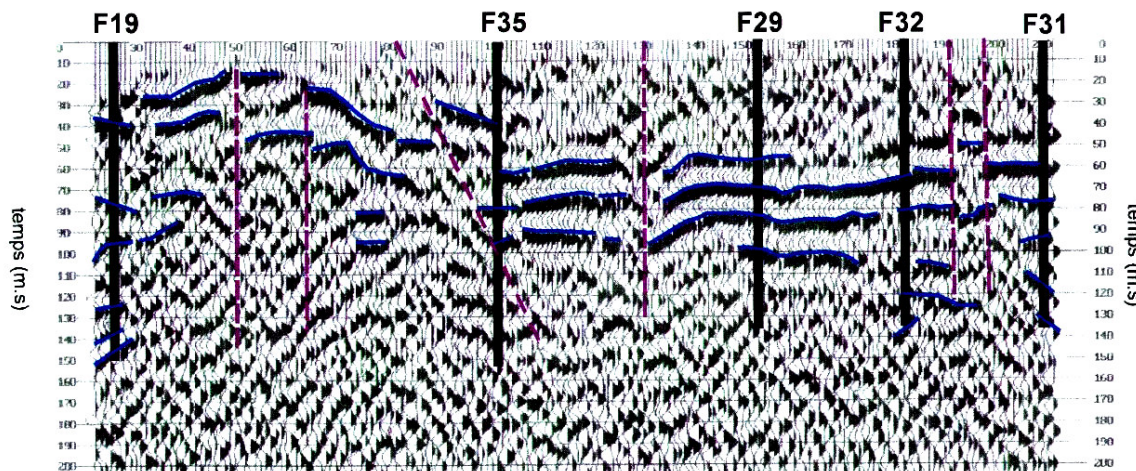


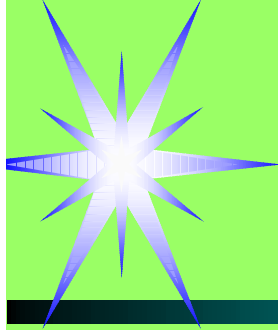
Caractérisation hydrogéologique d'un aquifère en sol fracturé (Bretagne 1996)



SUD

NORD

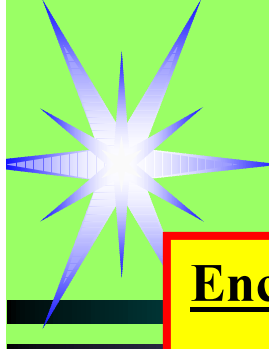




Coûts ?

-Fonction de:

- longueur du profile**
- résolution (couches ou cavités?)**
- résolution**
- accessibilité du site**
- profondeur**
- traitement**



Conclusions

Enclosed examples cover :

- stratigraphy of shallow subsurface
 - detection and location of underground tunnels
 - detection of filled in /collapsed grounds
 - evaluation of the state of a void (collapsed/sound)
 - archaeological research
 - imaging of shallow faults
 - imaging of mines and associated collapses
 - hydrogeology
-
- wavelengths exploited: $\lambda = 5 - 15$ m
 - angular resolution obtained: $\delta = 10 - 20$ deg
 - depth resolution obtained: $\delta_r = \lambda/4 = 1 - 4$ m
 - depths exploited: 2 – 400 m